

**IDENTIFICACIÓN DE POSIBLE MICRO-TECNOLOGÍA Y PATRONES ARTIFICIALES
EN VACUNA PFIZER CON MISCROSCOPIA ÓPTICA**



**ANÁLISIS DE MICROSCOPIA ÓPTICA
Y REPORTE FOTOGRÁFICO**

Sevilla, España, 14 de Enero de 2.022

**Ricardo Delgado Martín
Graduado en Estadística. Especialidad Bioestadística - Universidad de Sevilla -**

OBJETIVO DE LA INVESTIGACIÓN

El objetivo del presente trabajo es **la identificación de patrones artificiales y estructuras micro-tecnológicas que pudieran estar contenidas en la vacuna comercial Comirnaty Pfizer.**

Para ello, se han fotografiado varios objetos visibles al microscopio óptico y han sido comparados con artículos de la literatura científica al efecto de este análisis.

Además **se ha tratado de identificar una gran variedad de objetos compatibles con estructuras de apariencia grafénica dada las características y peculiaridades de este material como sus pliegues, relieves, tensión superficial, etc**

Esta investigación es una aproximación desde el punto de vista de la microscopía óptica, a la caracterización de estas estructuras con las limitaciones propias de la metodología y medios utilizados.

Las micro-fotografías han sido obtenidas con una calidad de aumentos oscilable **entre 200X-1400X**. Se requiere una mayor representatividad de las muestras a analizar con la técnica óptica para extraer conclusiones o generalizaciones sobre la materia objeto de estudio.

Sin embargo, **el reporte constituye un elemento a tener en cuenta y que necesariamente debería ser complementado y ampliado por científicos y laboratorios independientes con el fin de esclarecer este producto diana administrado a la Sociedad Civil de forma global y simultánea.**

INTRODUCCIÓN

La microtecnología y nanotecnología con objeto de formar nanorredes intracorporales o predisuestas a convivir en el interior de los seres vivos es objetivo científico desde hace varios años tal y como recoge la propia literatura científica en este ámbito disciplinario.

La nanotecnología está proporcionando un nuevo conjunto de herramientas a la comunidad de ingenieros para diseñar componentes a nanoescala con funcionalidades sin precedentes.

La integración de varios nanocomponentes en una sola entidad permitirá el desarrollo de nanomáquinas avanzadas.

Las nanorredes, es decir, las redes de nanomáquinas, permitirán una gran cantidad de aplicaciones en los campos **biomédico, medioambiental, industrial y militar**.

Decenas de artículos científicos publicados sientan las bases de la comunicación electromagnética habilitada por **grafeno** en nano y microrredes, incluidas microrredes intracorporales.

https://www.researchgate.net/publication/269853754_Fundamentals_of_Electromagnetic_Nanonetworks_in_the_Terahertz_Band

https://www.researchgate.net/publication/282476793_Design_of_Wireless_Nanosensor_Networks_for_Intrabody_Application

<https://ieeexplore.ieee.org/document/7874136>

Los resultados obtenidos apuntan a la **Banda de Terahercios (0,1-10 THz) como el rango de frecuencia de funcionamiento óptimo** de las nuevas nanoantenas.

Por otra parte, el **grafeno** es una material **con capacidad para absorber la radiación de microondas procedente de las antenas de telefonía** en la banda de GHz y amplificar su señal 3 magnitudes de onda en la escala de Thz.

<https://cordis.europa.eu/article/id/124280-graphene-boosts-ghz-signals-into-terahertz-territory/es>

Desde hace años, se ha logrado una frecuencia de corte óptima para transistores de grafeno a exactamente **26GHz**, la frecuencia más alta reportada usando este material.

https://www.photonics.com/Articles/26-GHz_Graphene_Transistor/a35858

También conocemos que nuestro Gobierno está pendiente de la aprobación de la licitación de la nueva tecnología 5G para la nueva banda comercial, exactamente a **26 GHz**.

<https://www.lamoncloa.gob.es/serviciosdeprensa/notasprensa/asuntos-economicos/Paginas/2021/271221-frecuencias.aspx>

A la vista de los resultados obtenidos en la presente investigación y el conocido trabajo del Dr. Campra "*Informe técnico de detección de grafeno en vacunas covid por espectroscopía micro-raman*" donde se evidencia, de forma inequívocamente concluyente, **la presencia de grafeno en las muestras obtenidas de los viales de Pfizer, Astrazeneca, Moderna y Janssen**, es factible que dicho **material no declarado en los viales, es la base para la implementación de nano y microrredes intracorporales en la población mundial** usando como pretexto la situación actual.

https://www.researchgate.net/publication/355684360_Deteccion_de_grafeno_en_vacunas_COVID19_por_espectroscopia_Micro-RAMAN

Igualmente, hemos mencionado el **efecto multiplicador del grafeno** de la radiación procedente de las antenas de telefonía móvil más allá de las radiaciones de Cherenkov.

<https://aip.scitation.org/doi/abs/10.1063/1.4984961?journalCode=apl>

La parte final y conclusión de esta investigación recalca que, en base a esta evidencia y la **toxicidad de este material** dependiente de la radiación, **la denominada enfermedad COVID19 es un Síndrome de Irradiación aguda potenciada por la acción del propio tóxico que se introduce en las "vacunas"**, efecto colateral de esta operación nano y micro-tecnológica con fines desconocidos para la sociedad y en la línea de financiación de la *Graphene Flagship* en los últimos años.

<https://graphene-flagship.eu/graphene/news/european-opportunities-for-research-and-innovation-with-layered-materials/>

En este artículo científico publicado en PubMed se recogen los **puntos en común entre la enfermedad COVID19 y las lesiones por radiación**, lo que explica que **el verdadero agente etiológico o causante de la enfermedad no es de origen biológico y tiene su explicación en este compuesto químico tóxico, el grafeno y sus derivados.**

<https://www.ncbi.nlm.nih.gov/labs/pmc/articles/PMC7861125/>

METODOLOGÍA UTILIZADA

Equipo de microscopía óptica HAXON AQUILES II y Cámara Haxon H-Aptina 5.0 USB 2.0



Características:

- MICROSCOPIO HAXON AQUILES I Modelo A-PTR203iH TRINOCULAR para PETROGRAFÍA de Iluminación REFLEJADA y TRANSMITIDA.
- Cabezal Trinocular Tipo Siedentopf Para POLARIZACIÓN (Libre de Tension y Polarizado)
- Multidireccional con Corrección INFINITO, Dispone de Regulación Interpupilar y de Dioptrías.
- Distribución de Luz del Cabezal Fija 80/20 , 80% de la Luz a los Oculares y 20% de la Luz a la Cámara.
- Adaptador 0.5X y 1X para la Cámara con Interfaz de Rosca C-Mount Standar.
- Cámara APTINA 5.0 Megapixels USB 2.0 con Sensor APTINA MT9P001 de Alto Rendimiento con Completo Menú de Configuración de Parametros y compatible con Sistema Operativo Windows.
- Cámara USB2.0 Dedicada. Resolución Máxima 5.0 Megapixels 2592H x 1944V. Tamaño del pixel 2,2x2,2 micrones.
- Alto ratio de frames por segundo hasta 15 fps a máxima Resolucion.
- Oculares Metálicos de Campo Ancho y Alto Relieve de Ojos de 10X/22mm corregidos a Plano de 30mm de Montura.
- Ocular Auxiliar 10X/20mm Reticulado en Cruz para Mediciones de 30mm de Montura.
- Revolver Cuadruple Con Sistema de Centrado para PETROGRAFÍA, sin cojinetes y con preciso marcado de posicionamiento.

- Objetivos Infinitos Planos Acromaticos de Alto Contraste IPCS (Infinity PLAN Correction System) de Larga Distancia de Trabajo LWD (Long Work Distance).
- Para Metalurgia Libres de Tensión para POLARIZACIÓN, RMS y DIN45 de 5X, 10X, 20X y 50X.
- MÓDULO PETROGRÁFICO con Modulo de Polarizacion con Lente de Bertrand.
- Analizador Regulable y Slides de Compensación de 1/4 lambda, lambda completa y cuña de cuarzo
- Stage Rotativo 360° de 140mm para polarización con Pinzas Porta-Objeto.
- Condensador Abbe 1.25 n.a. Especial para Polarizacion con Polarizador Regulable, regulable en altura mediante sistema de cremallera, dispone de diafragma.
- Módulo Puente METALURGICO para Iluminación REFLEJADA con POLARIZADOR.
- Módulo Bloque Portalámparas con Lámpara Halógena de 50W con fuente de alimentación externa de 50W analógica.
- Sistema de Enfoque Macro con Regulación de Tensión y de Parada de Altura para evitar choques con los Objetivos.
- Sistema de Enfoque Micro Mediante Coronas y Piñones con giro Infinito y una precisión de 2 micras por division, alcanzando el máximo estandarizado para laboratorio.
- Iluminador de Kohler con Diafragma y Lentes de Vidrio Frotado con Sistema de Centrado Regulable.
- Dispositivo de Iluminación Halógeno de 30W interno de Alta Potencia con regulación de intensidad e interruptor de seguridad.

DESCRIPCIÓN Y TRATAMIENTO DE LAS MUESTRAS ANALIZADAS

Se ha procedido a analizar, con las técnicas descritas en la introducción, 3 viales de Comirnaty Pfizer que se muestran en la fotografía adjunta.

Las muestras se obtuvieron **a partir de viales sellados de las vacunas mRNA COVID19 Comirnaty Pfizer**. Todos los viales estaban sellados en el momento de su procesamiento.

Para la extracción de las muestras de los respectivos viales se ha procedido mediante microjeringuillas y agujas nuevas esterilizadas depositando en el portaobjetos distintas alícuotas de cada vial de aproximadamente 10ul.



En una primera aproximación, **las muestras analizadas parecen estar fluyendo en una suspensión o hidrogel que mantiene el flujo y la acuosidad para los componentes que las conforman.**

En función de la tensión superficial de la suspensión, **son visibles determinados objetos** con distintas cualidades en distintos planos o relieves de las diferentes muestras analizadas.

A lo largo de la presente investigación, **las imágenes obtenidas han sufrido una evolución observable en el análisis óptico, en función del tiempo transcurrido desde la exposición de las mismas en el porta-objetos, hasta su completa evaporación en ambiente de meteorización.**

Tras amplios intervalos de observación a la microscopía óptica, utilizando para ello distintos filtros de luz y calidades de aumentos, **se han observado objetos compatibles con apariencia grafénica (Anexo 1)** en distintos planos de la muestra.

Además, **son visibles determinados objetos de aspecto cuadrangular y auto-ensamblado de los mismos en disposición de zig-zag** (*Anexo 2*) observados durante la investigación en tiempo real.

Sin embargo, después de la evaporación casi total de las muestras, esa evolución da lugar a **estructuras más complejas que recuerdan a patrones artificiales propios de la micro-tecnología de nanorredes intra corporales como recoge la literatura científica** en distintas publicaciones (*Anexo 3*).

Nota: Para evitar cualquier tipo de contaminación que pudiera influir en el resultado final de la investigación, las muestras han sido almacenadas en habitáculos estancos durante todo el proceso de la investigación y se han mantenido las más estrictas razones higiénicas en el tratamiento de las mismas, desde su observación hasta su almacenamiento y custodia.

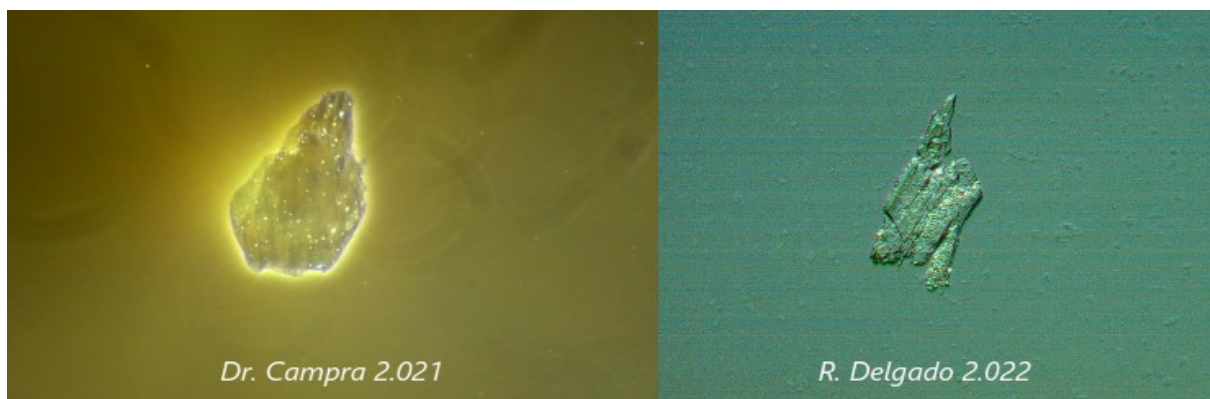
- ANEXO 1-

IDENTIFICACIÓN EN LA MUESTRA DE OBJETOS COMPATIBLES CON GRAFENO

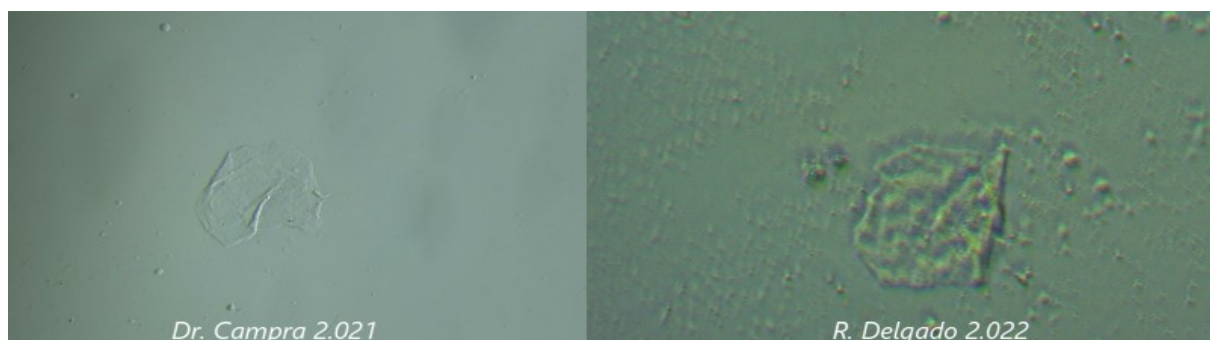
A continuación, se muestra un reporte fotográfico microscópico de algunos de los objetos con apariencia grafénica obtenidos en las distintas muestras. (Fotografías 3 – 16)

Cabe destacar el grado de similitud con las imágenes obtenidas por el *Dr. Campra Madrid* en su "**DetECCIÓN de óxido de grafeno en suspensión acuosa, estudio observacional en microscopía óptica y electrónica. Informe provisional**" (*Dr. Campra, junio 2.021, fotografías 1 y 2*)

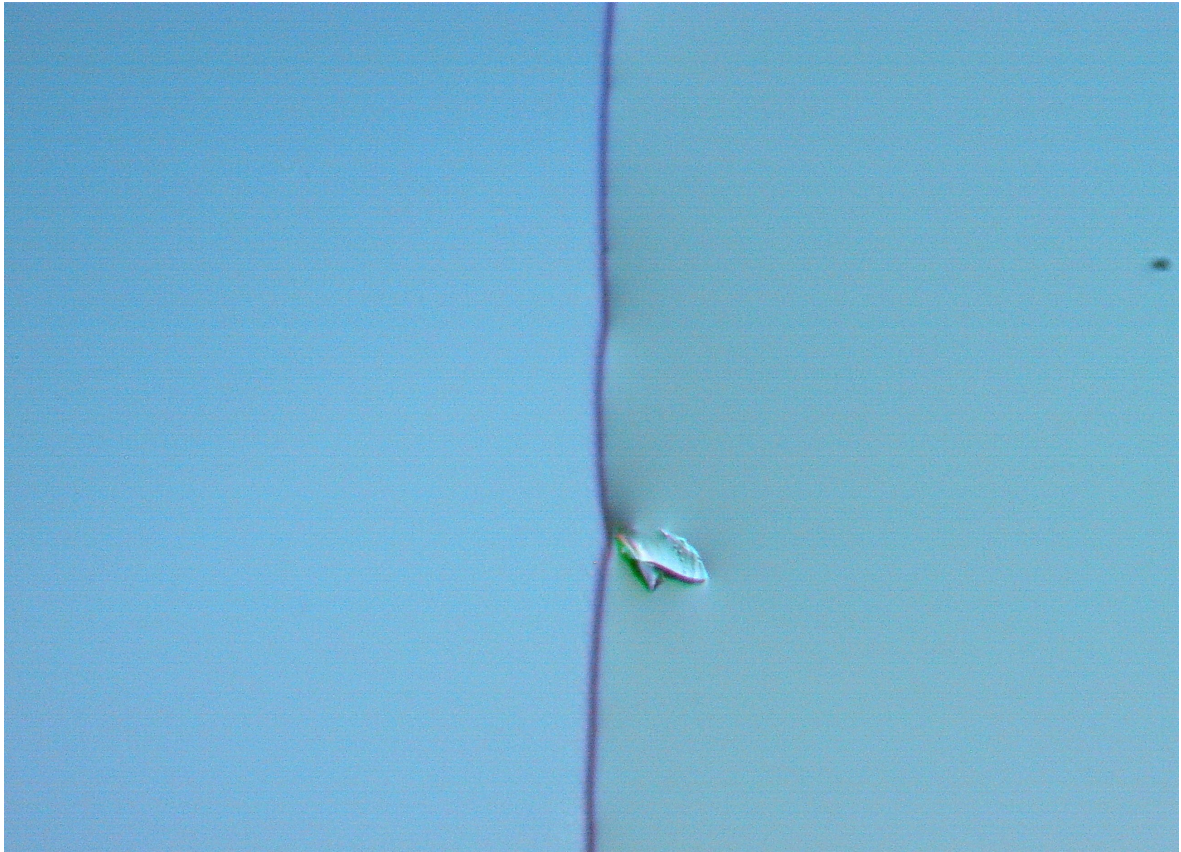
https://www.researchgate.net/publication/354059739_DETECCION_DE_OXIDO_DE_GRAFENO_EN_SUSPENSION_ACUOSA_COMIRNATYTM_RDIESTUDIO_OBSERVACIONAL_EN_MICROSCOPIA_OPTICA_Y_ELECTRONICAInforme_provisional_IANEXO_FOTOGRAFIAS



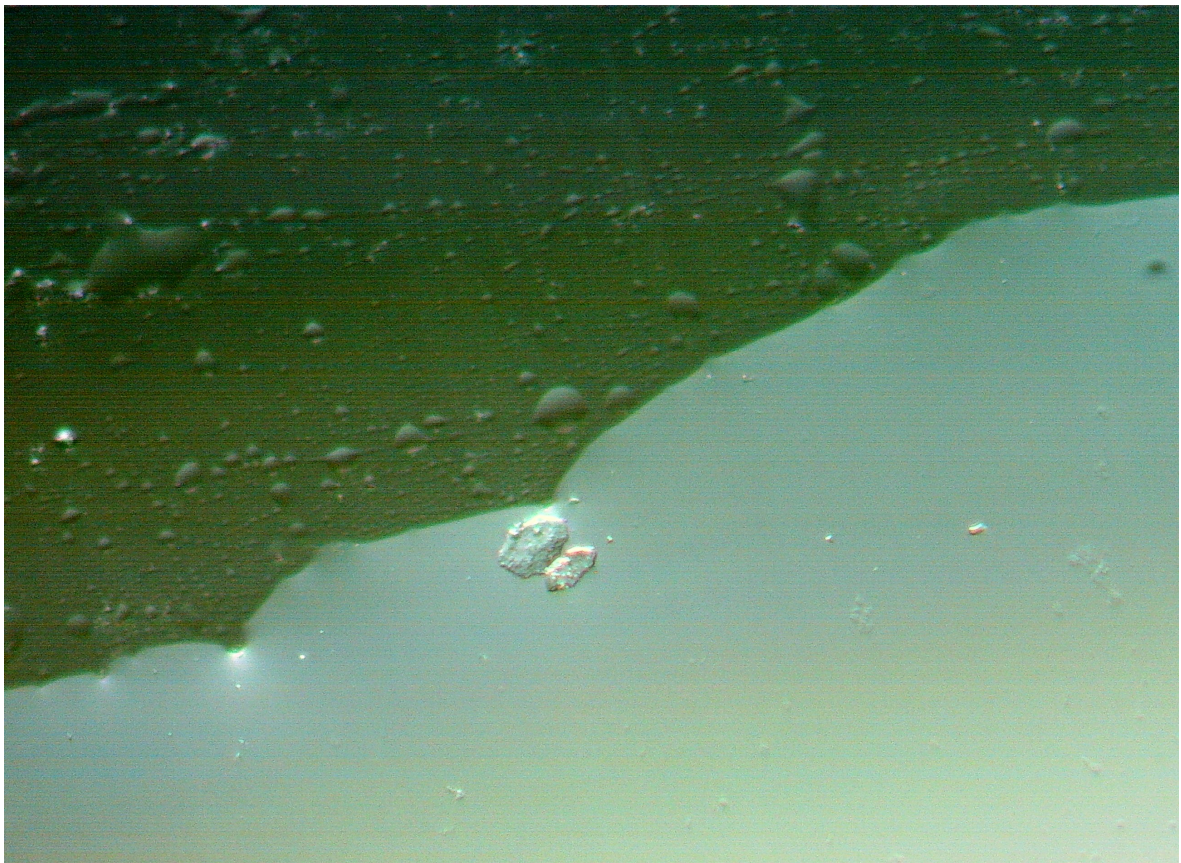
Fotografía 1



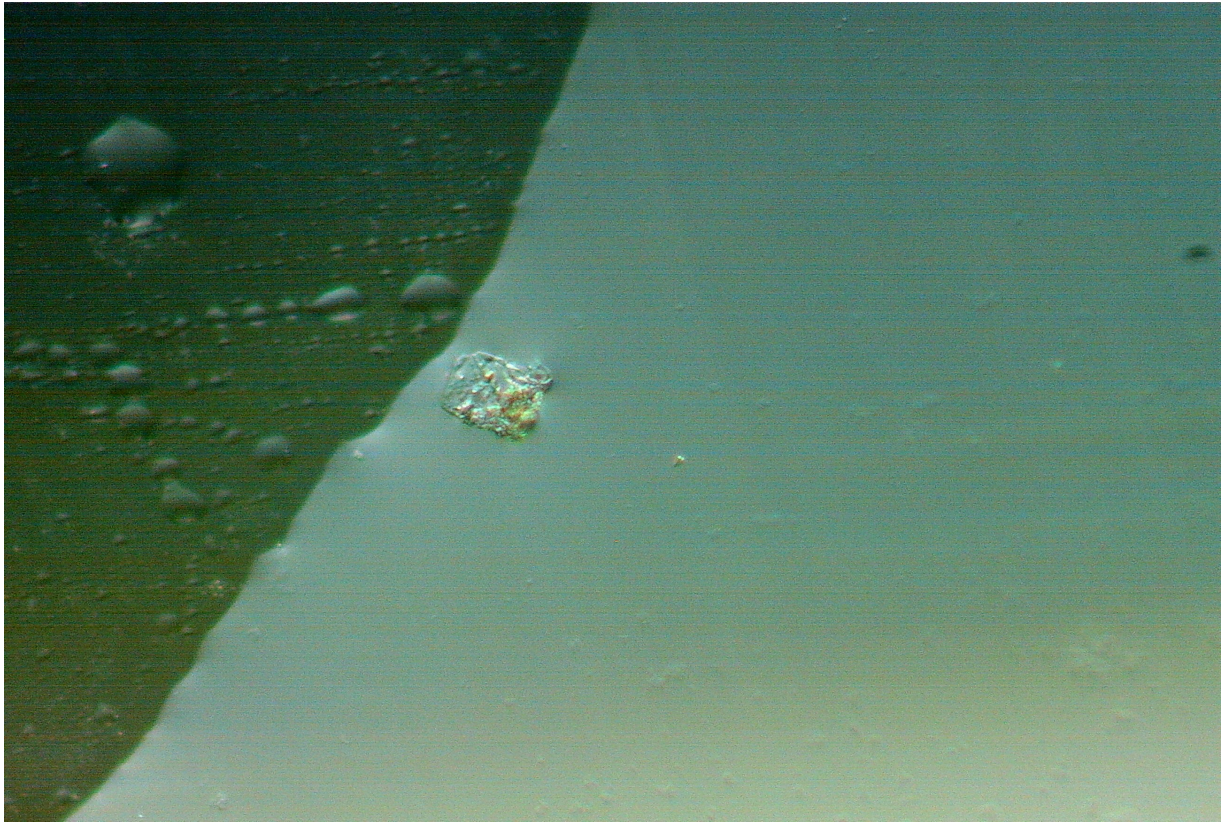
Fotografía 2



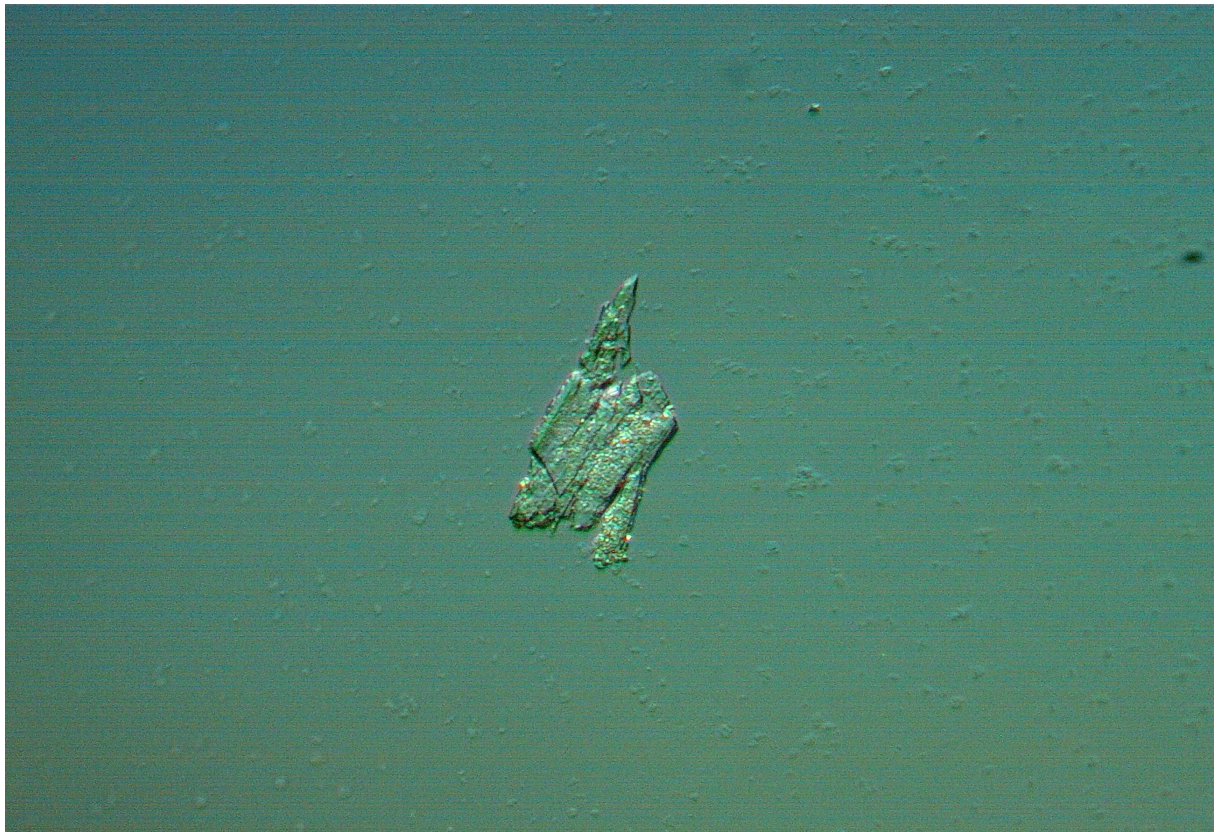
R. Delgado 2.022 (Fotografía 3)



R. Delgado 2.022 (Fotografía 4)



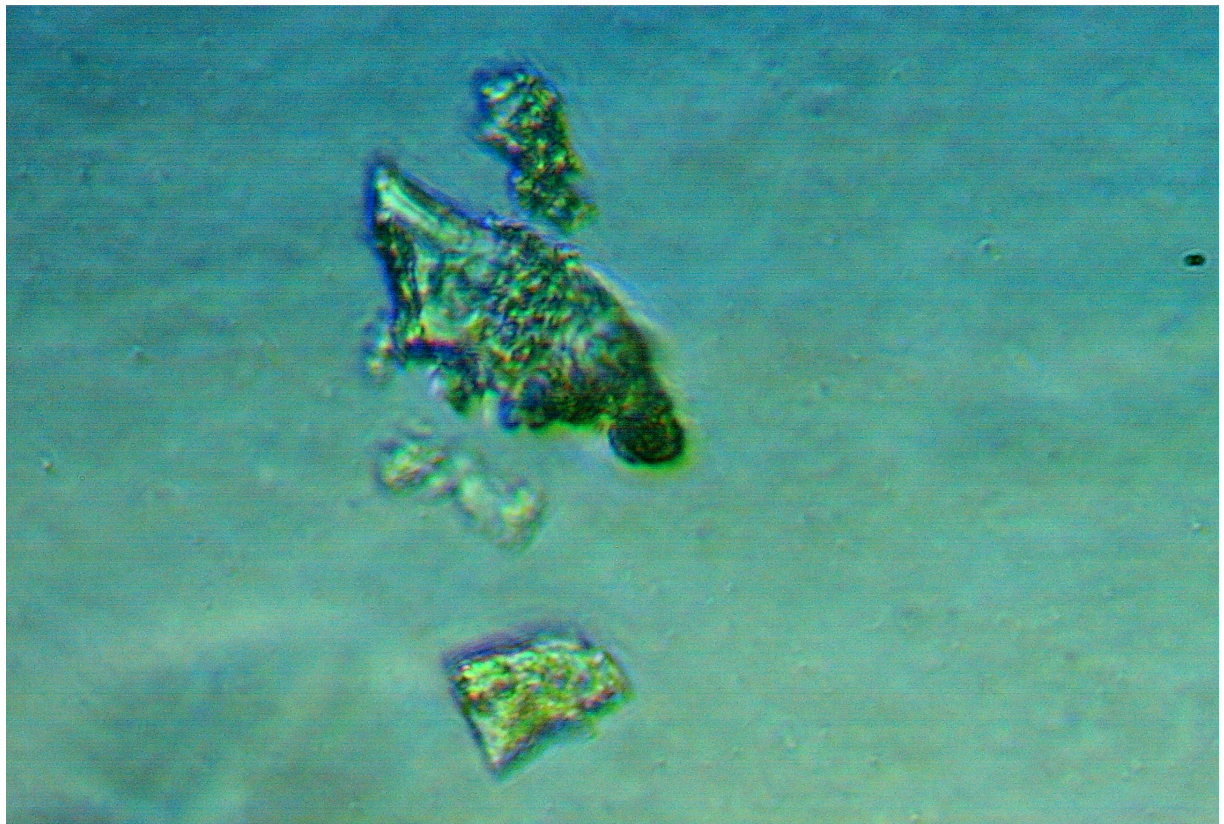
R. Delgado 2.022 (Fotografía 5)



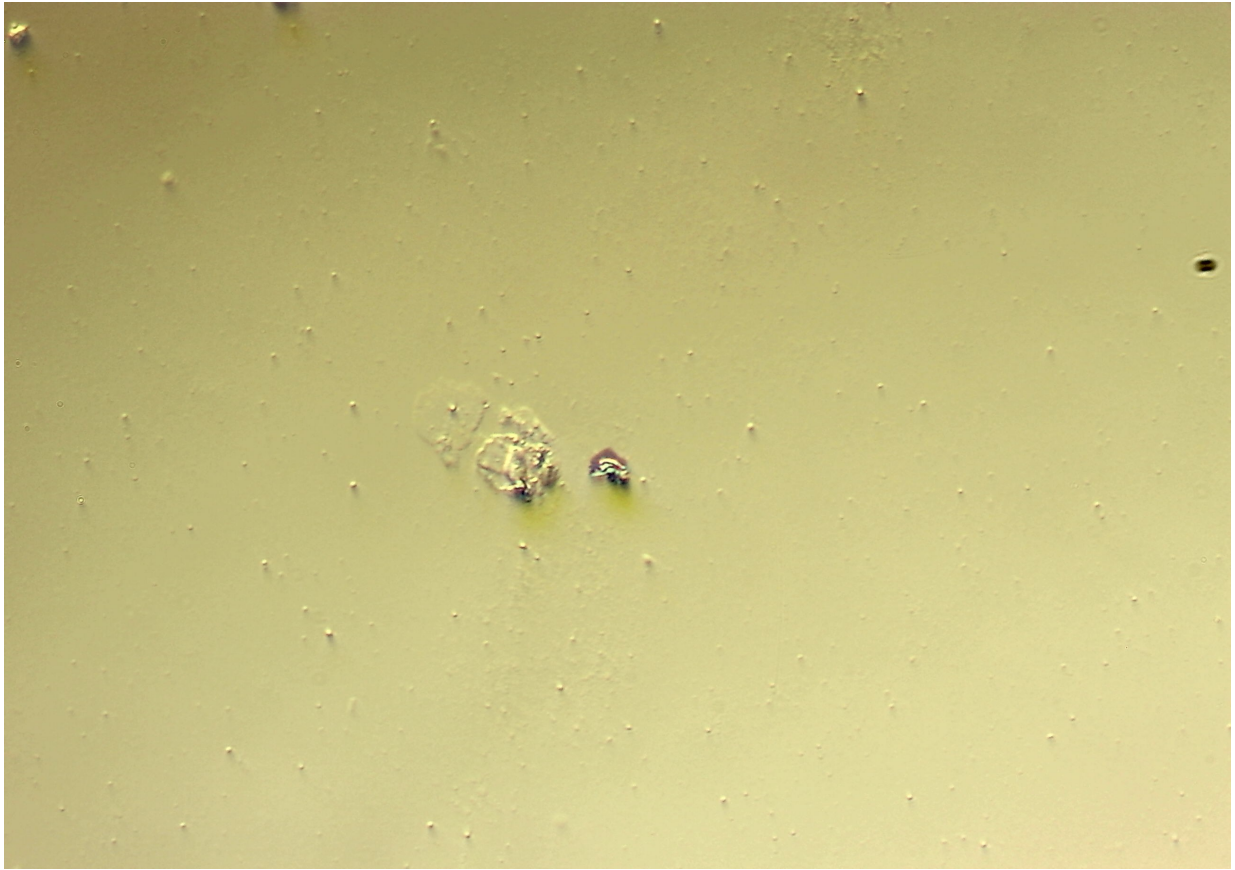
R. Delgado 2.022 (Fotografía 6)



R. Delgado 2.022 (Fotografía 7)



R. Delgado 2.022 (Fotografía 8)



R. Delgado 2.022 (Fotografía 9)



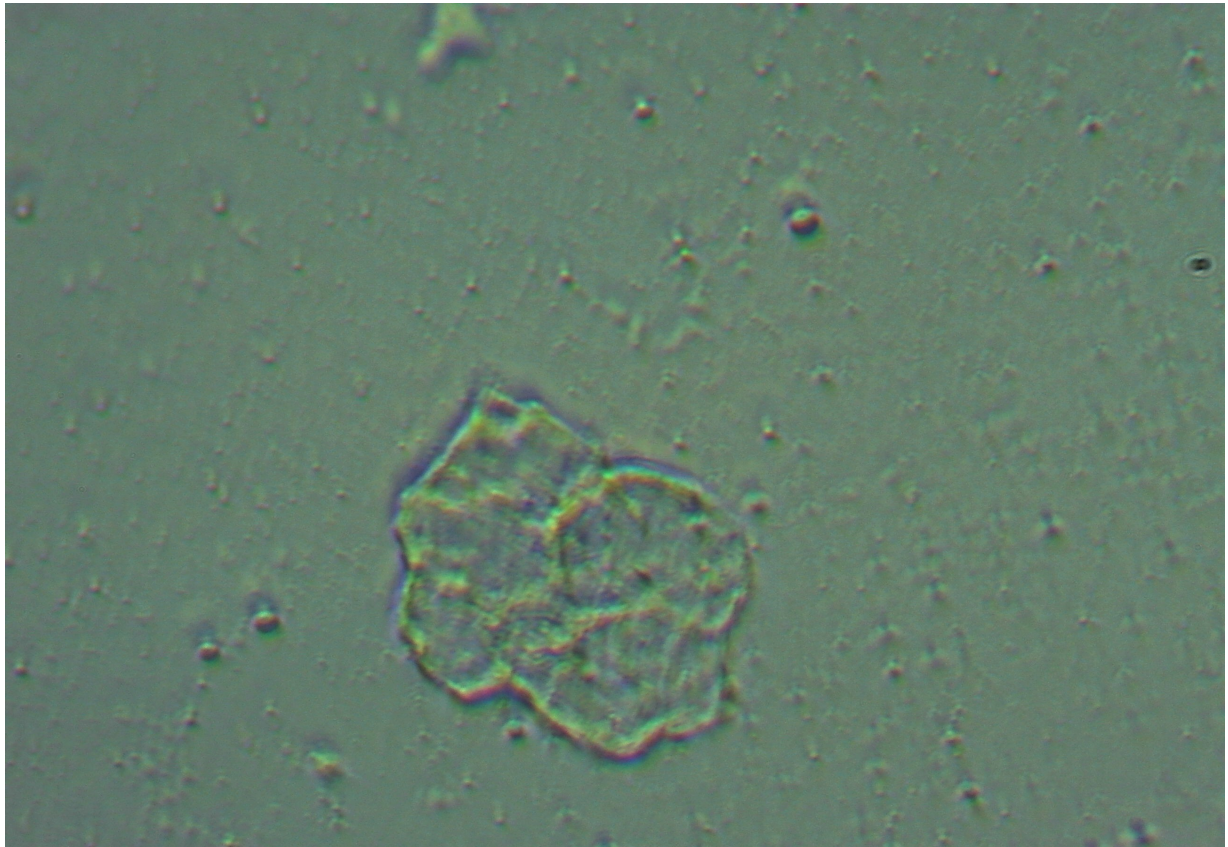
R. Delgado 2.022 (Fotografía 10)



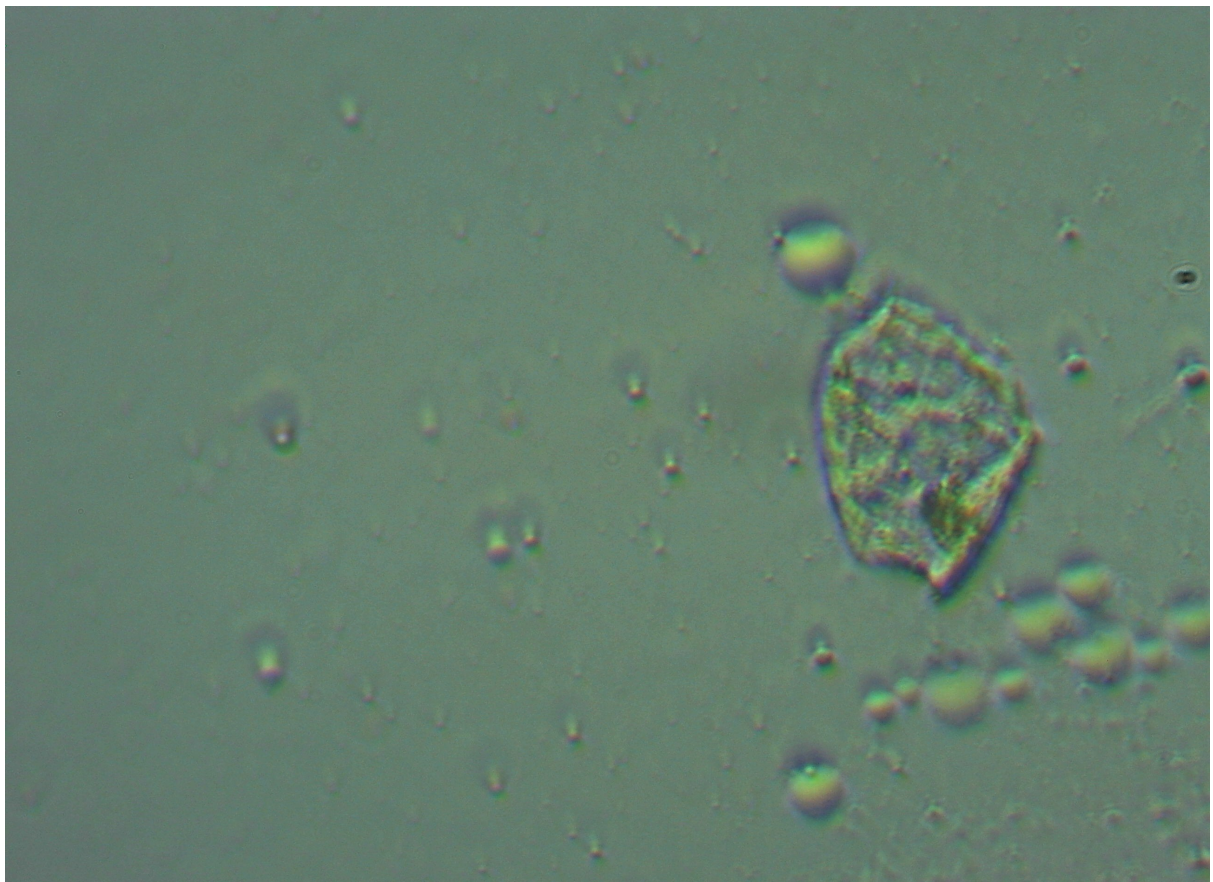
R. Delgado 2.022 (Fotografía 11)



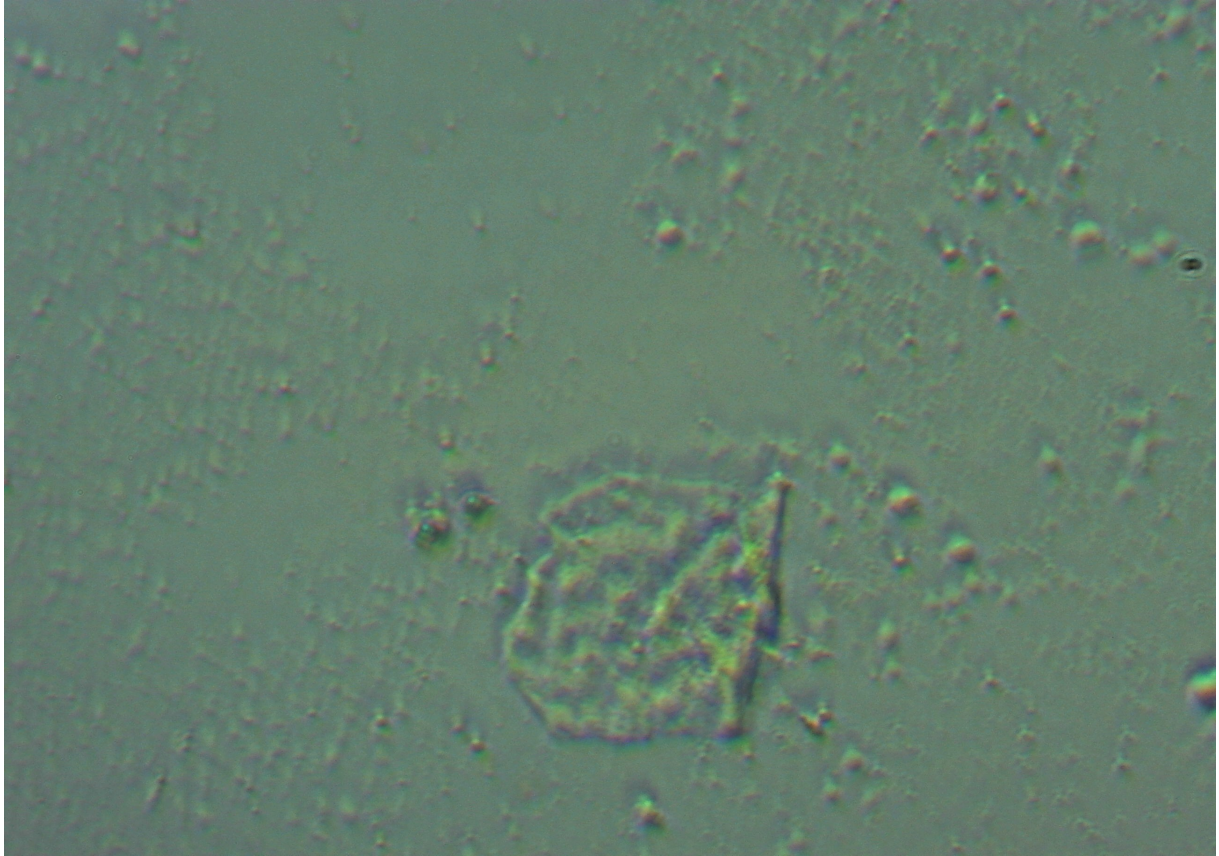
R. Delgado 2.022 (Fotografía 12)



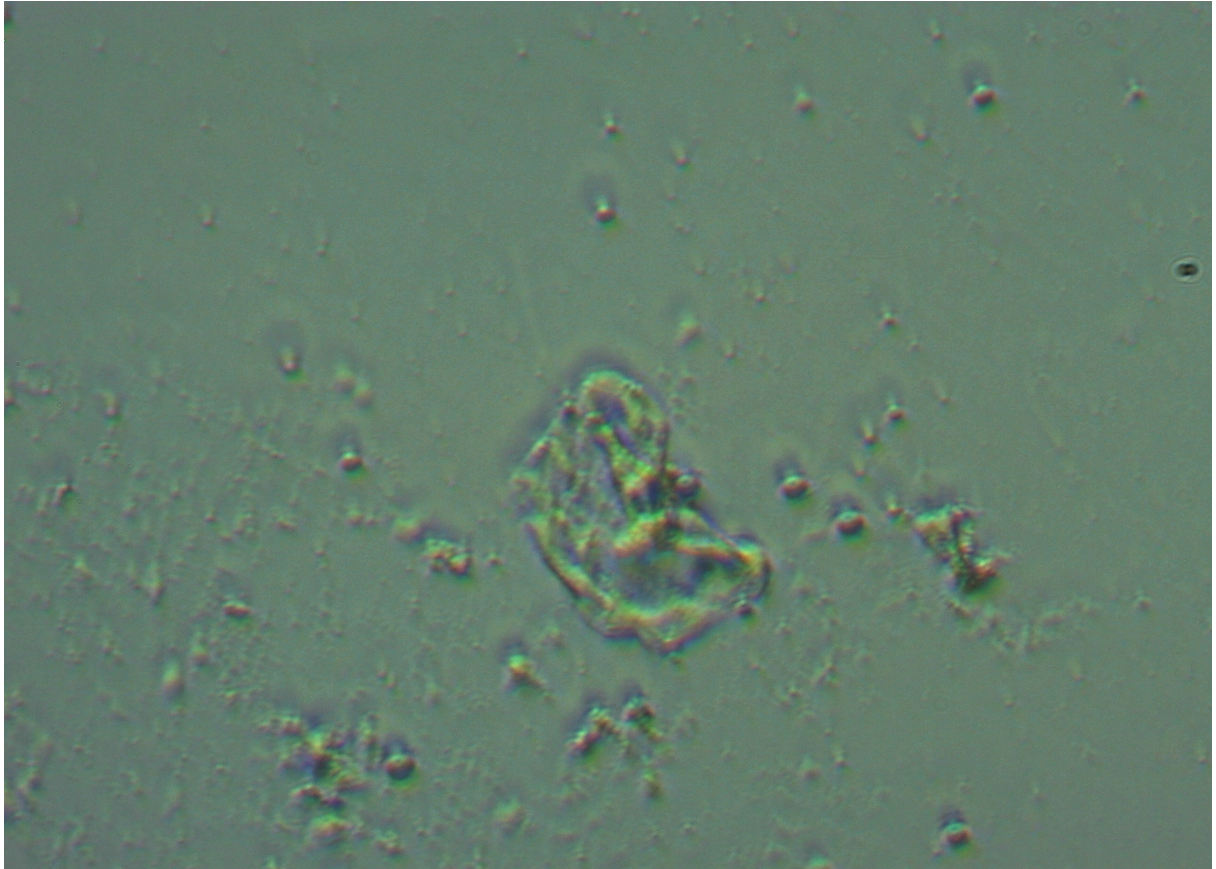
R. Delgado 2.022 (Fotografía 13)



R. Delgado 2.022 (Fotografía 14)



R. Delgado 2.022 (Fotografía 15)



R. Delgado 2.022 (Fotografía 16)

- ANEXO 2 -

VISUALIZACIÓN EN LA MUESTRA DE AUTO-ENSAMBLADO DE OBJETOS

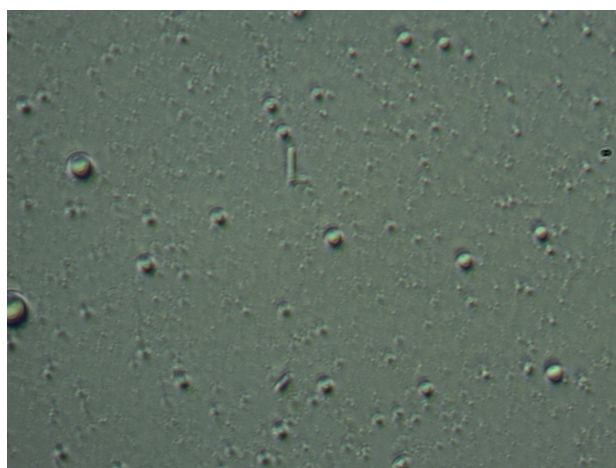
A continuación mostramos estructuras de **auto-ensamblado** en las muestras observadas y la evolución de las mismas a lo largo del tiempo. (*Fotografías 17 – 31*)

También la literatura científica recoge el proceso de auto-ensamblado de diferentes componentes para formar estructuras más complejas en contexto de la micro y nano-tecnología.

"Self-assembly as a key player for materials nanoarchitectonics".

<https://www.tandfonline.com/doi/full/10.1080/14686996.2018.1553108>. Katsuhiko Ariga, Michihiro Nishikawa, Taizo Mori, Jun Takeya, Lok Kumar Shrestha y Jonathan P. Hill (*Enero, 2.019*)

Nota: La investigación se presenta con un archivo descargable en formato video mp4 para la comprensión de lo observado en este anexo.



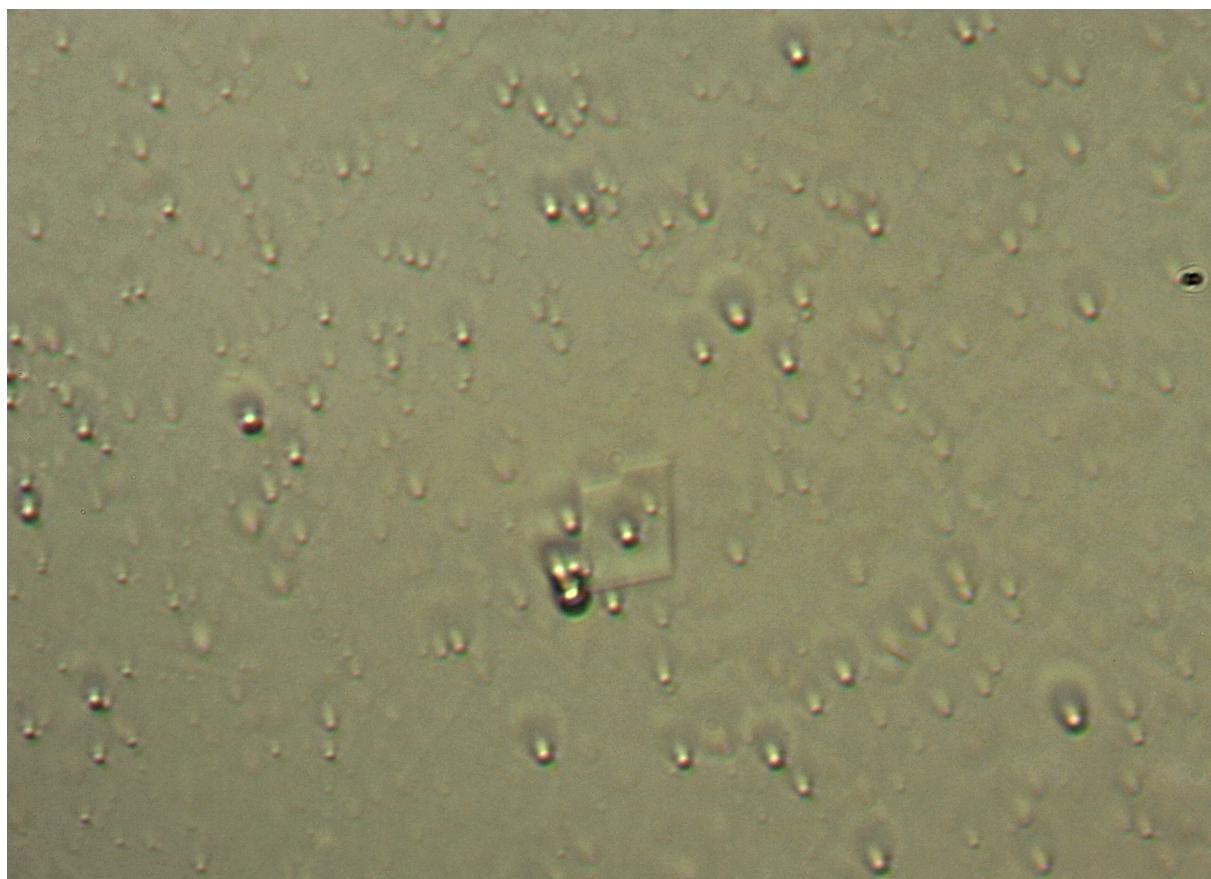
Fotografía 17



Fotografía 18



Fotografía 19



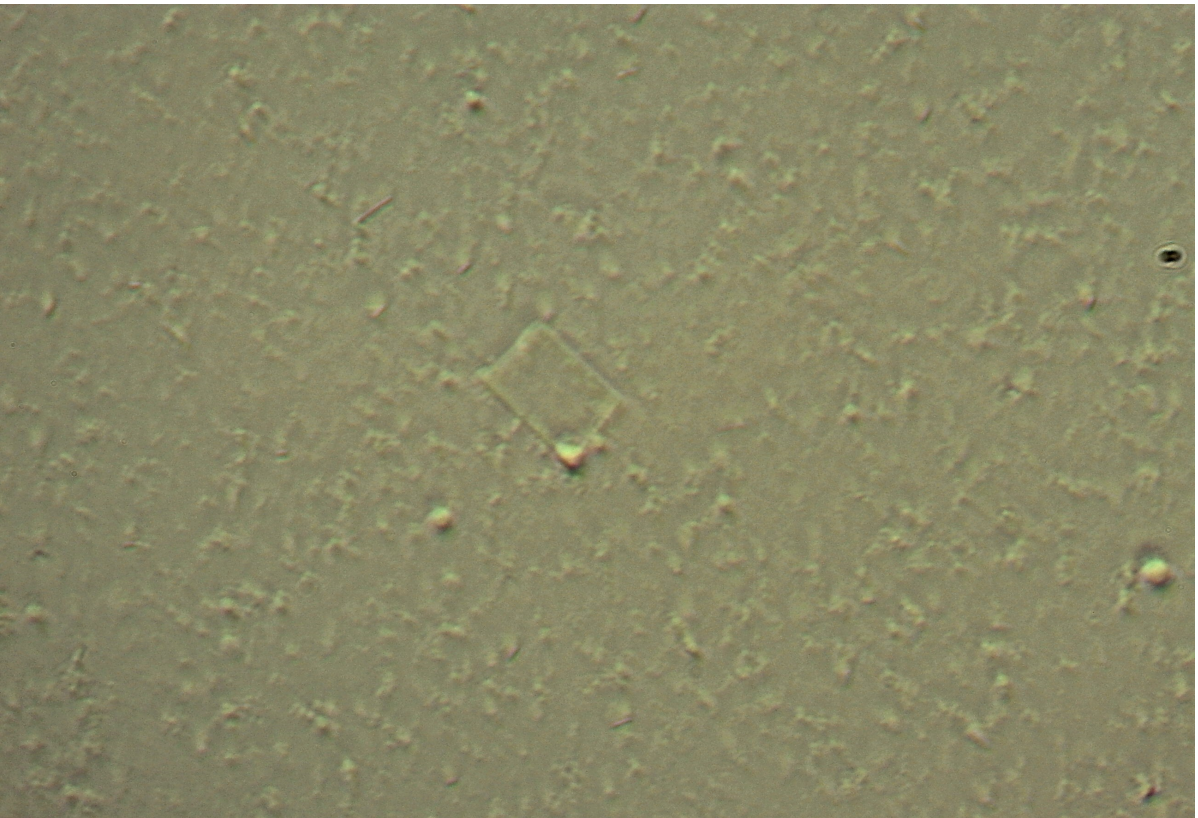
Fotografia 20



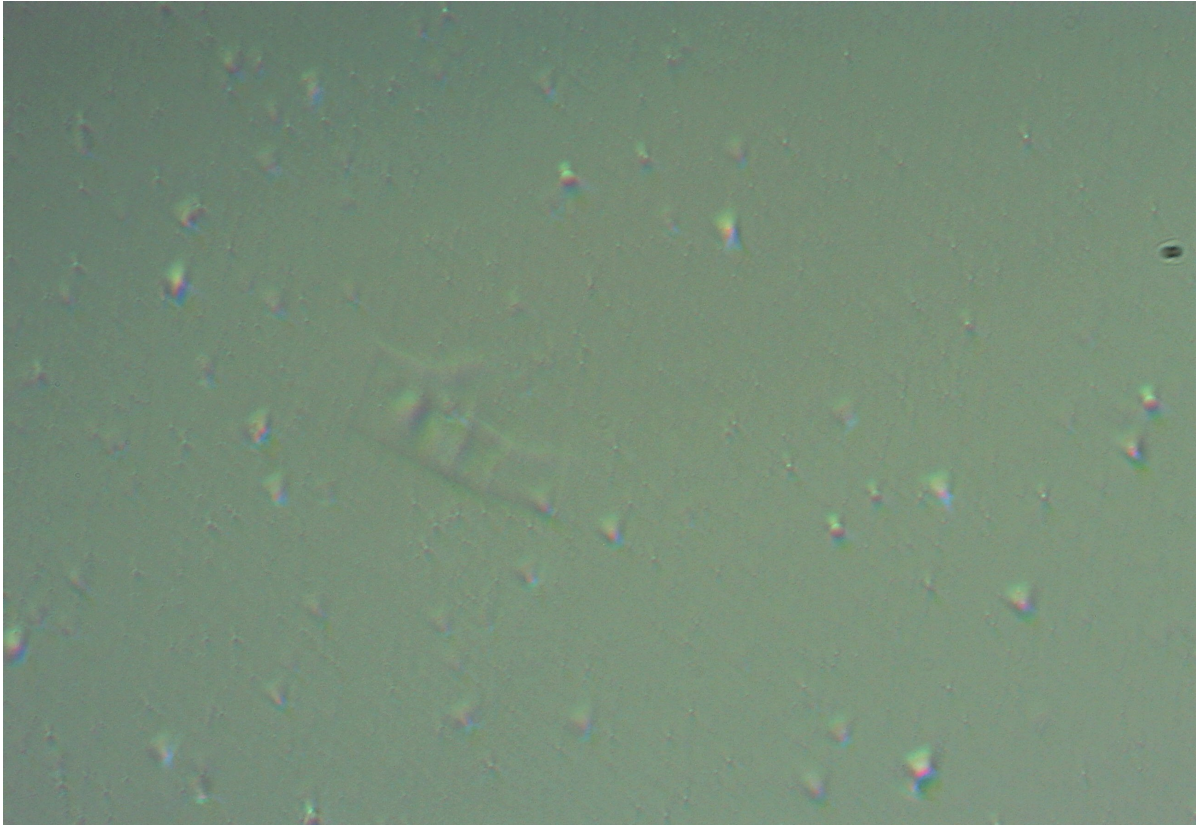
Fotografia 21



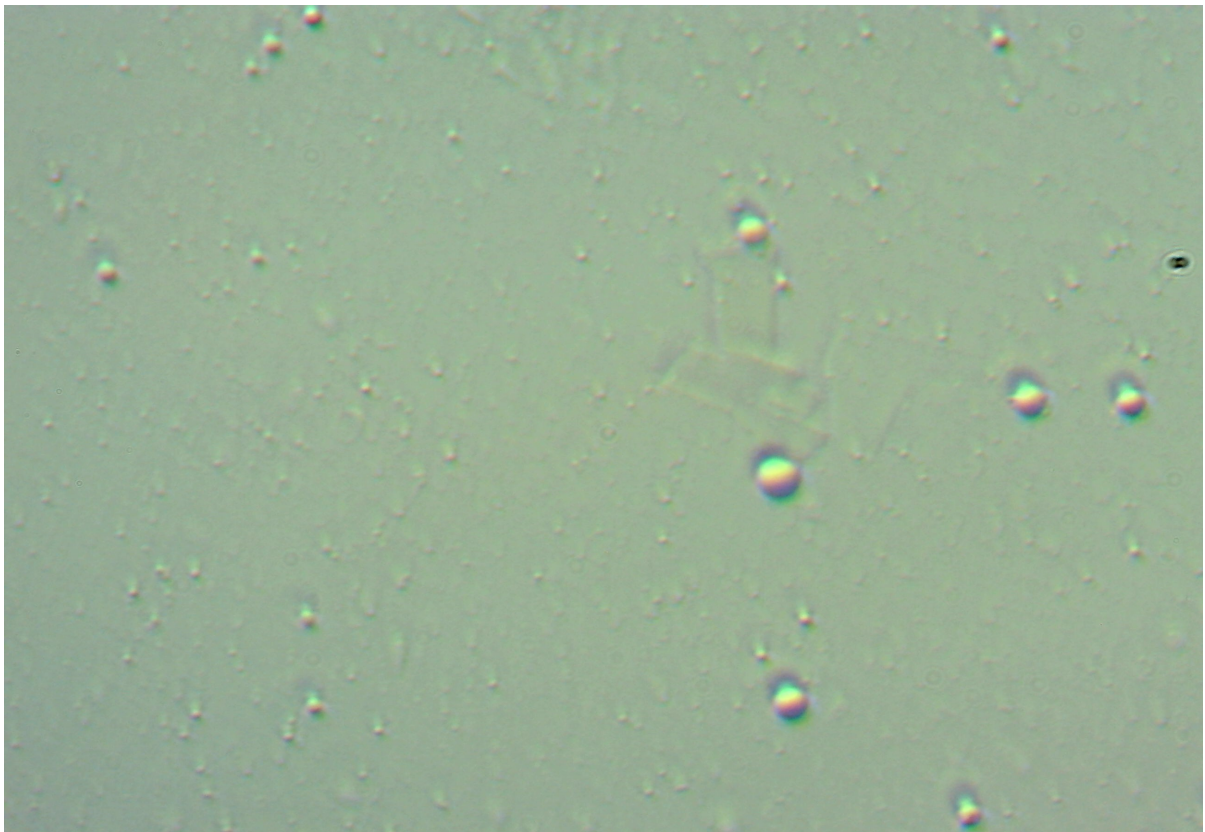
Fotografia 22



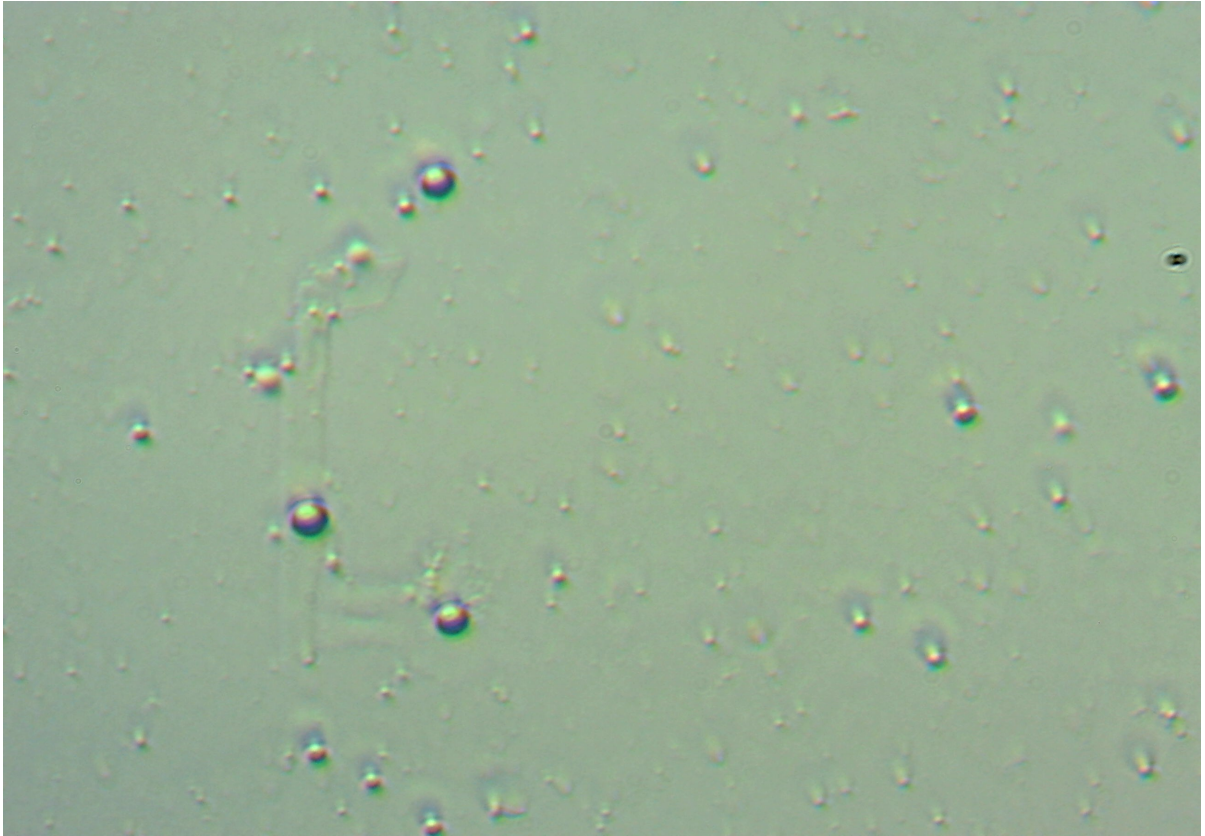
Fotografia 23



Fotografia 24



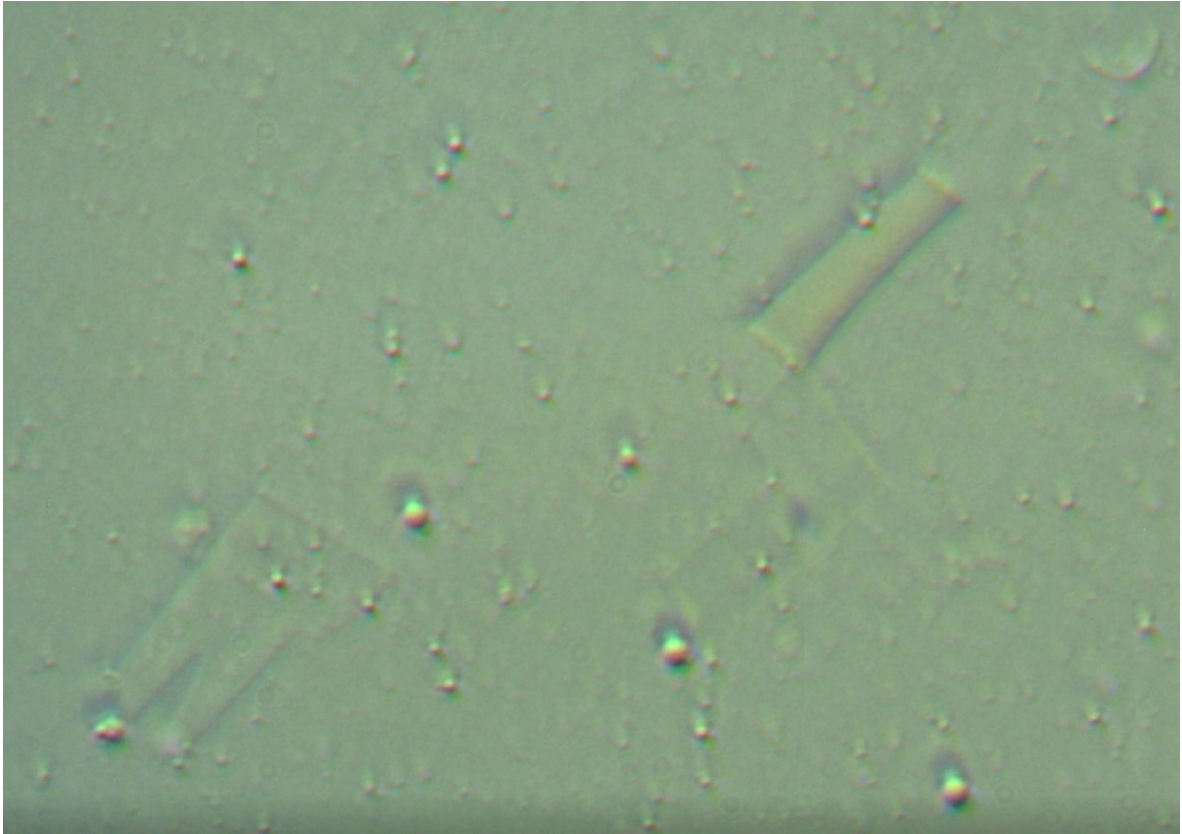
Fotografia 25



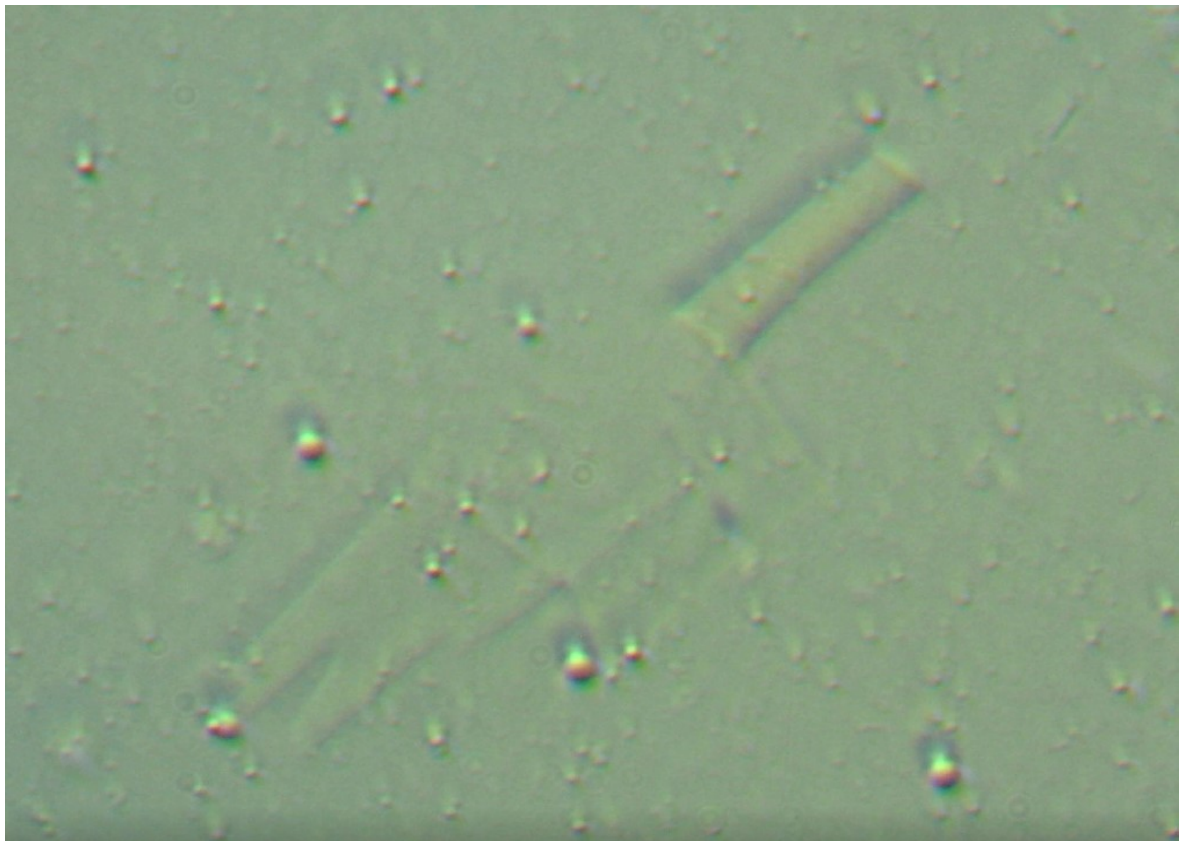
Fotografia 26



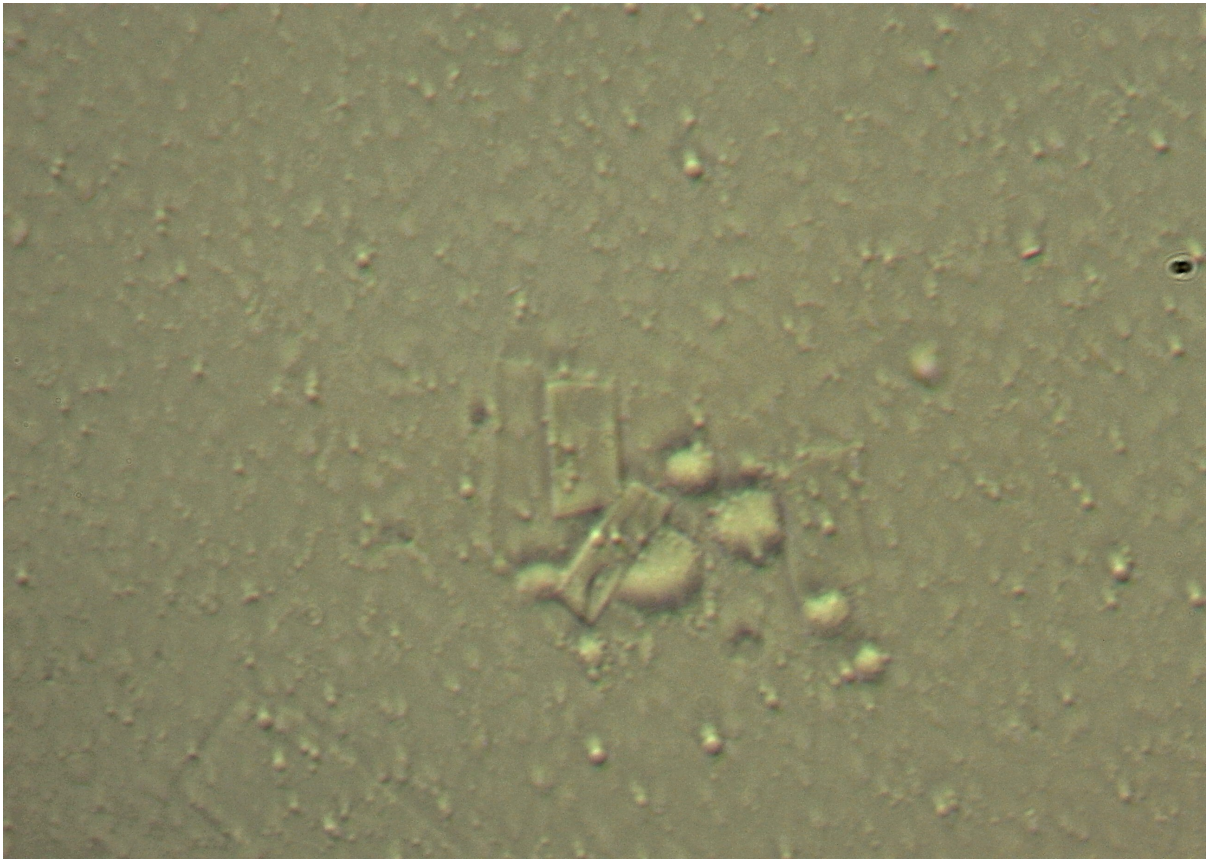
Fotografia 27



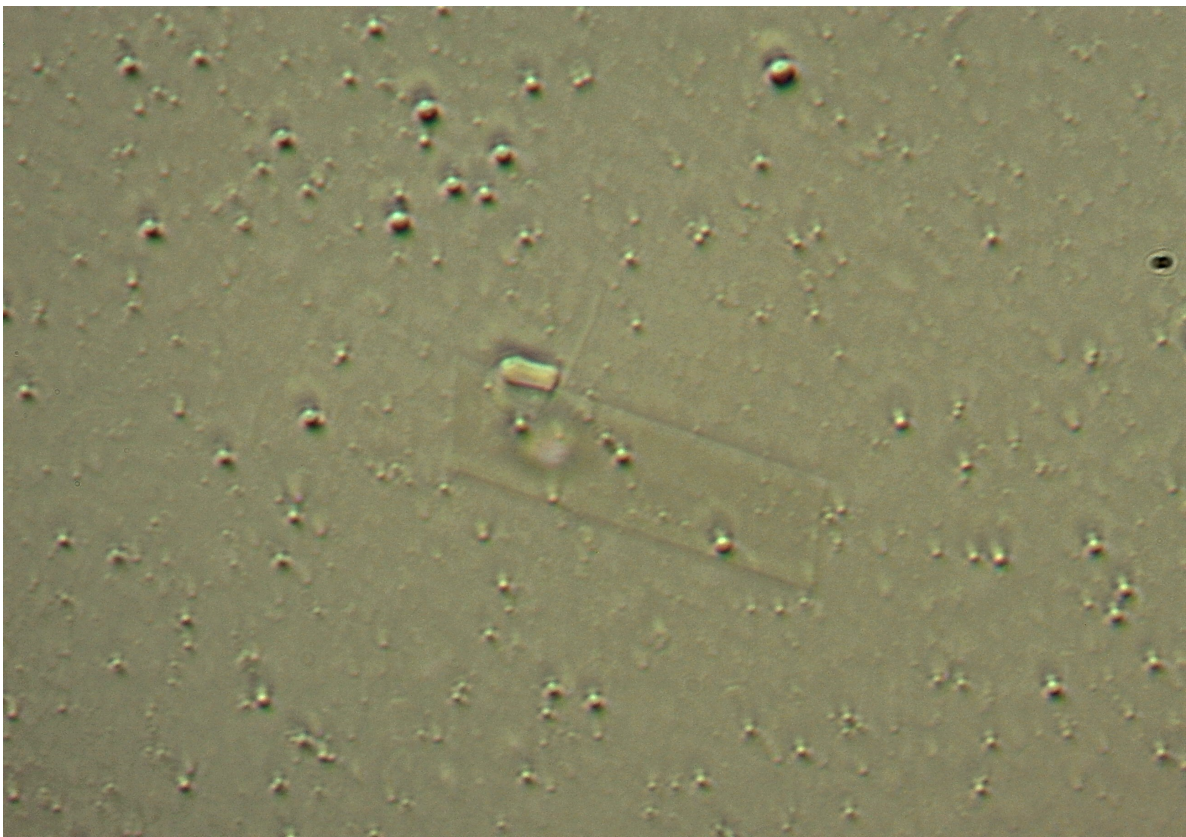
Fotografia 28



Fotografia 29



Fotografia 30



Fotografia 31

ANEXO 3

IDENTIFICACIÓN EN LA MUESTRA DE PATRONES ARTIFICIALES E INDICIOS DE MICRO-TECNOLOGÍA

En esta sección, analizamos todas las estructuras que pudieran tener su origen en un patrón claramente artificial. (*Fotografías 32 - 49*)

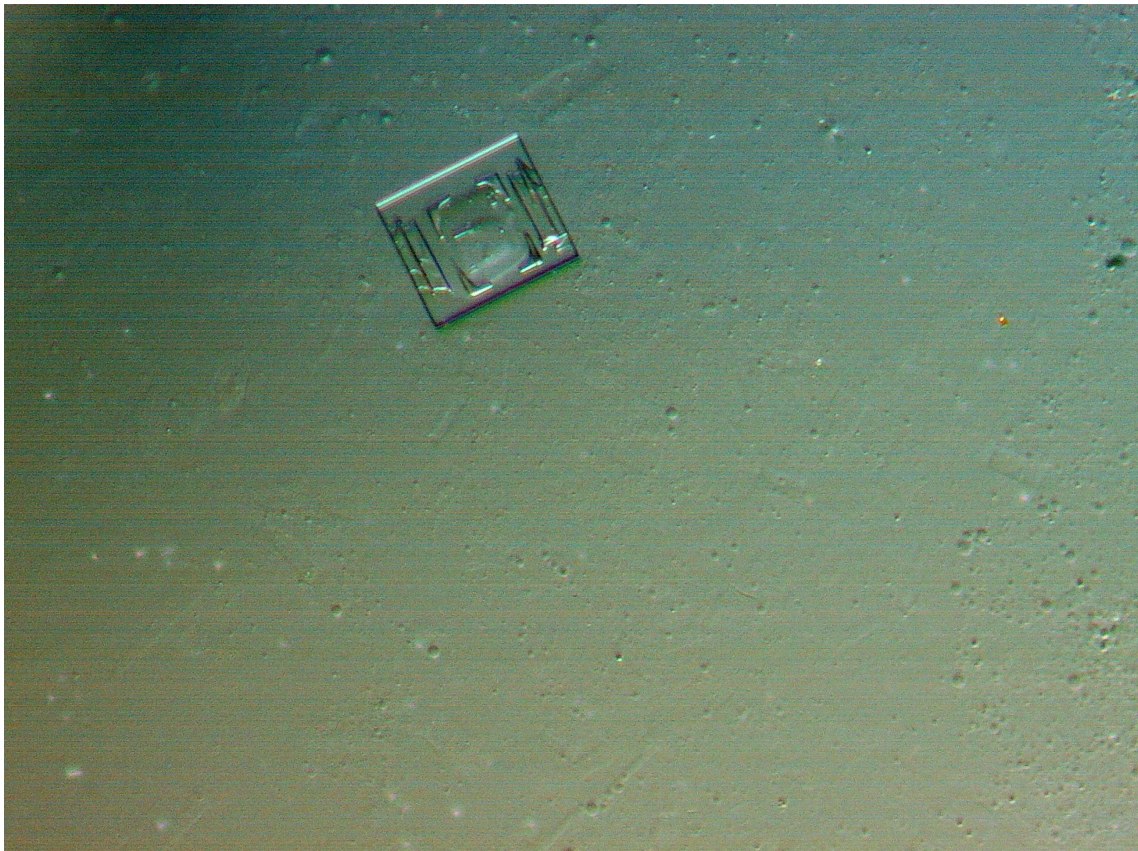
Nota: Cabe destacar que, en ningún caso, se corresponde a cristalizaciones conocidas como la sacarosa.



Fotografía 32



Fotografía 33



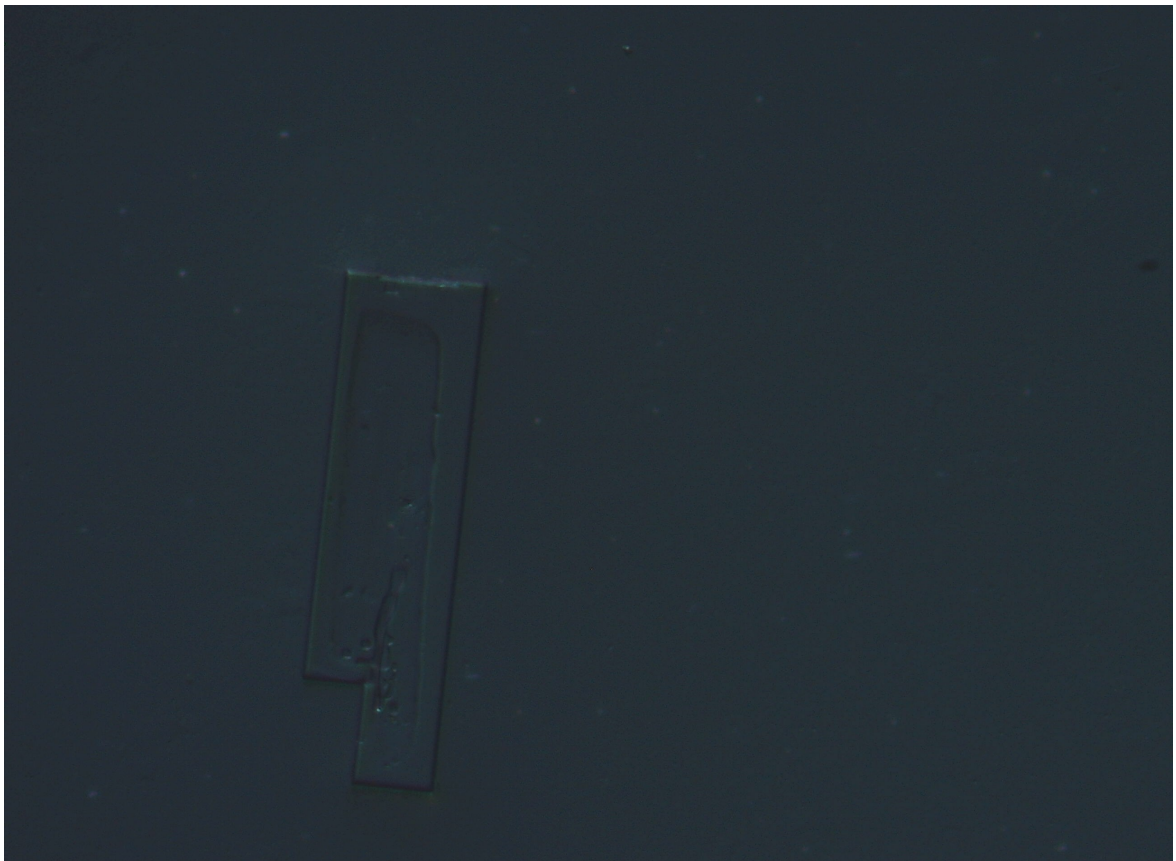
Fotografía 34



Fotografia 35



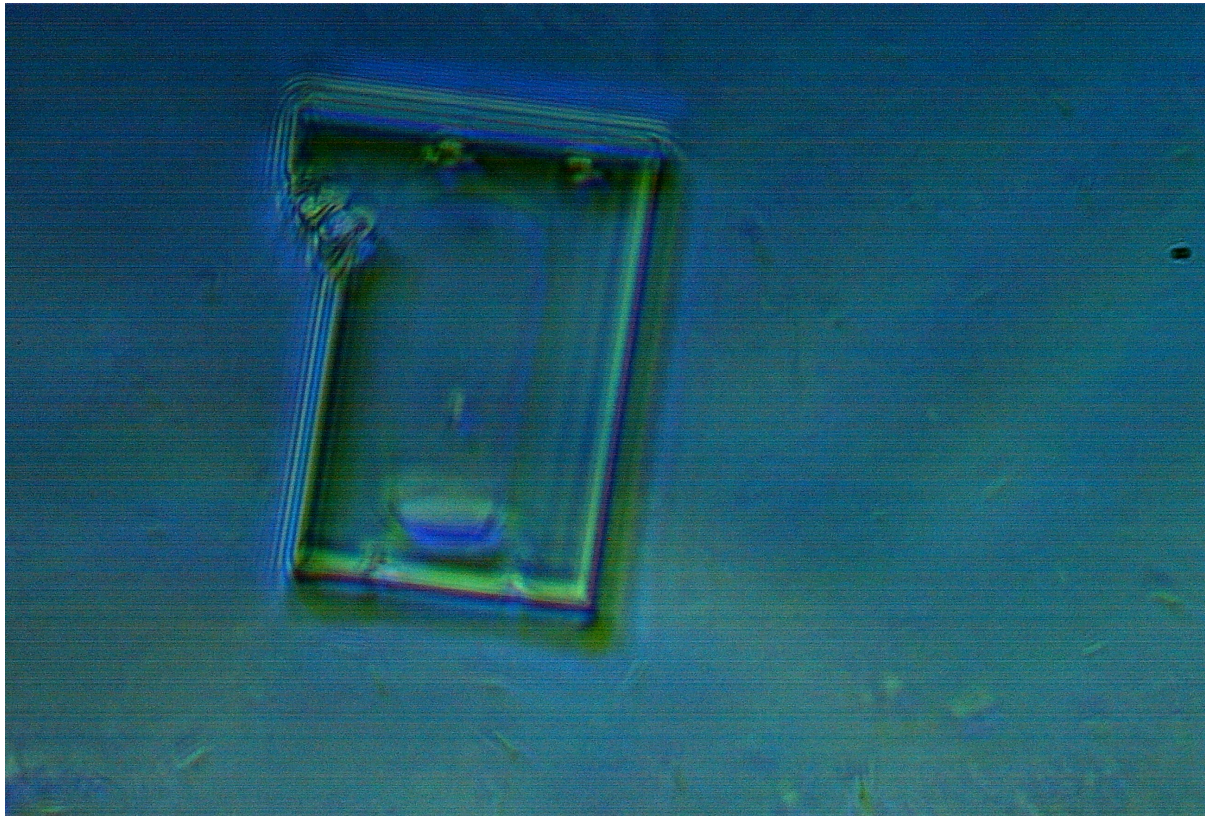
Fotografia 36



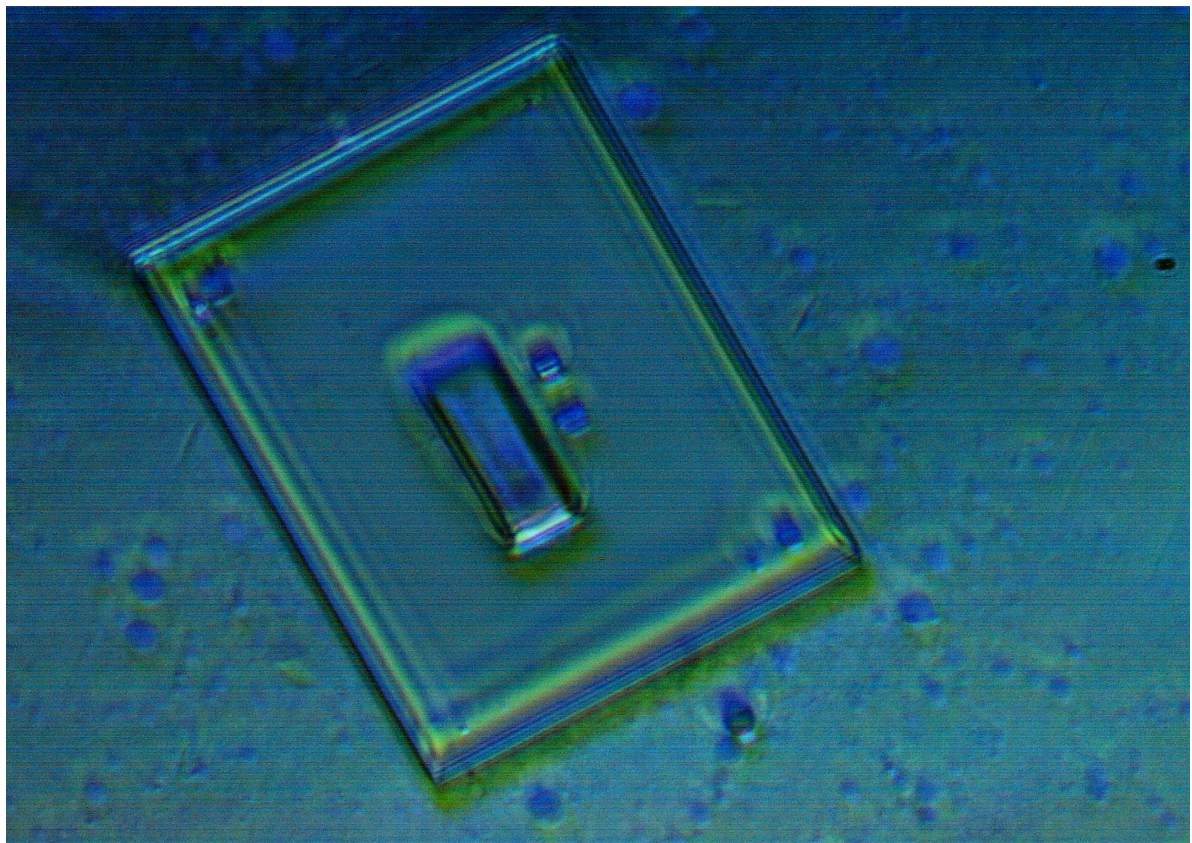
Fotografia 37



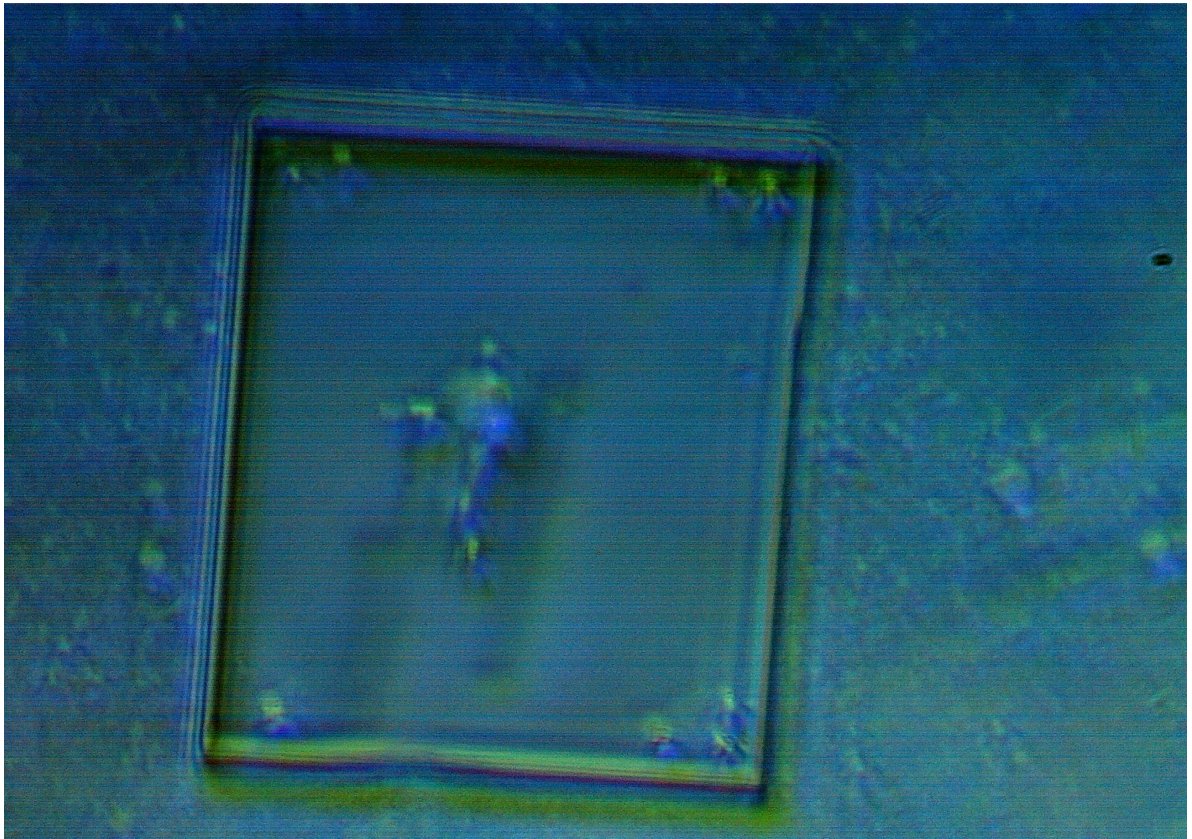
Fotografia 38



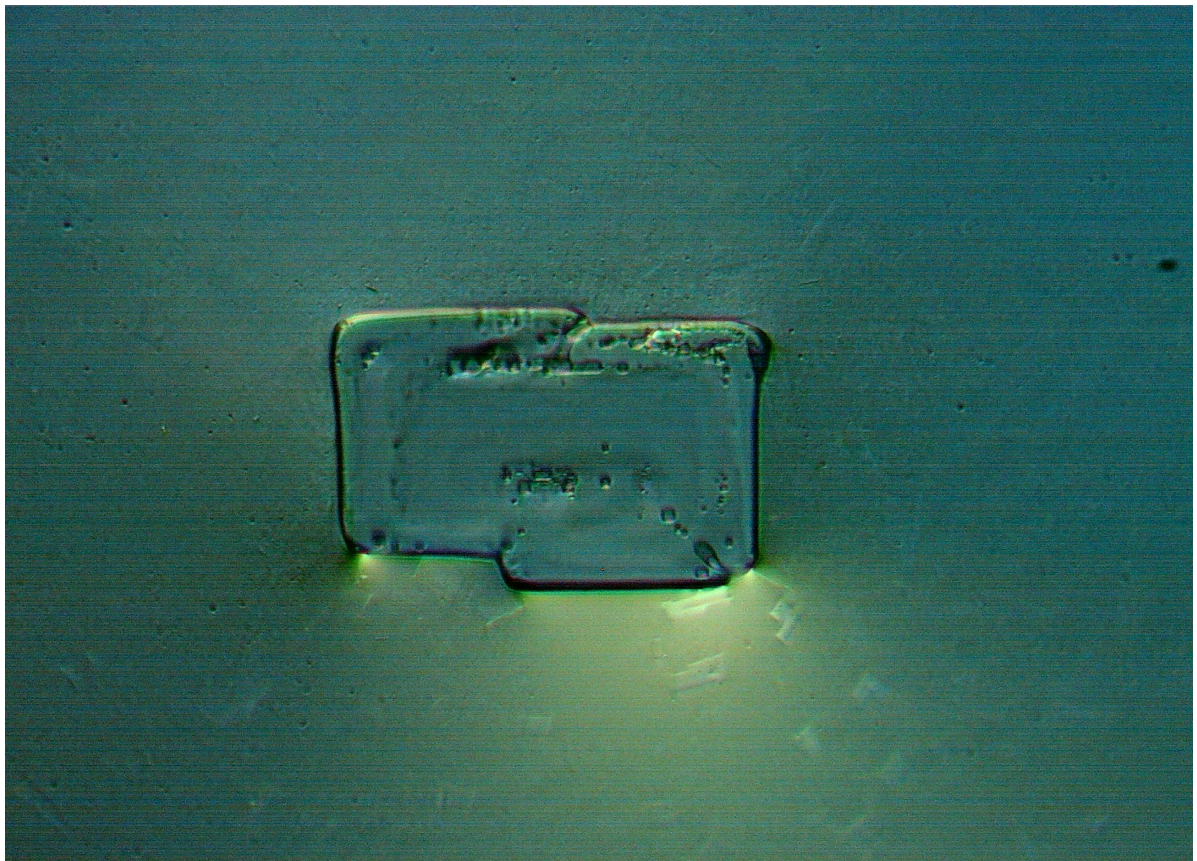
Fotografia 39



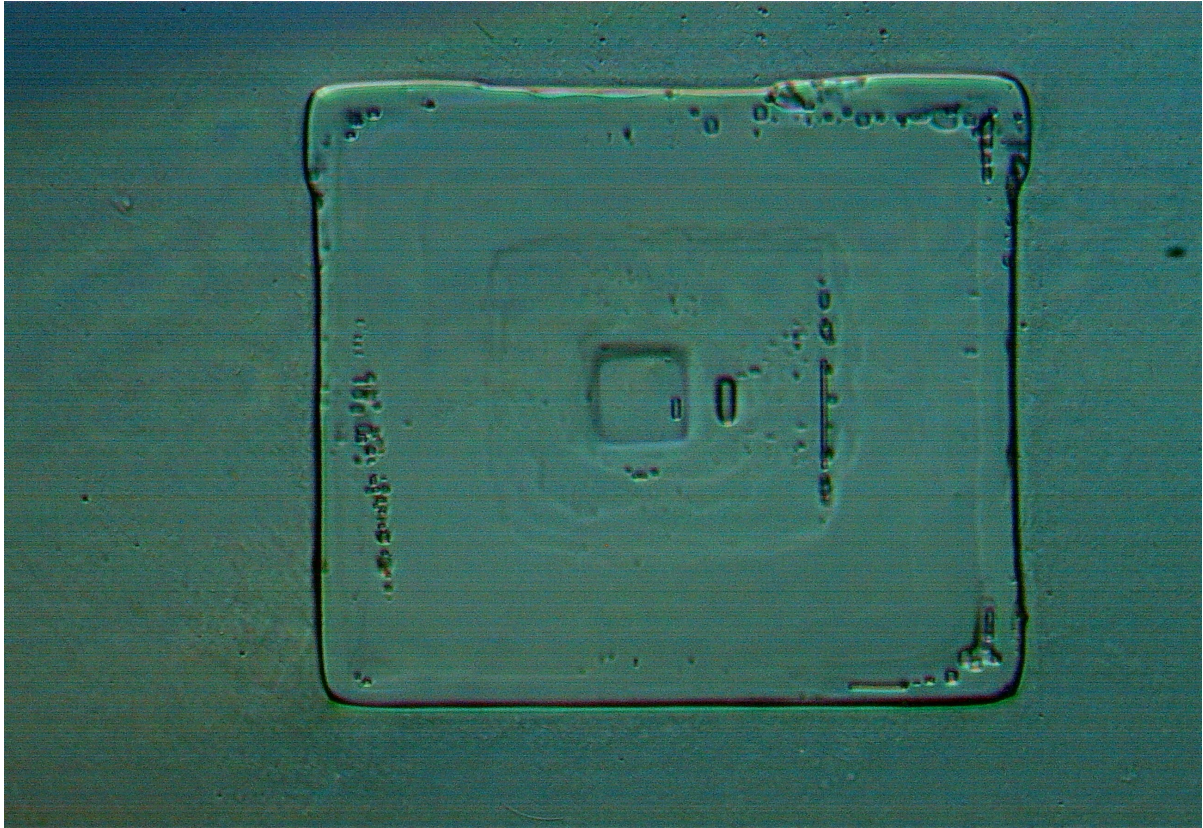
Fotografia 40



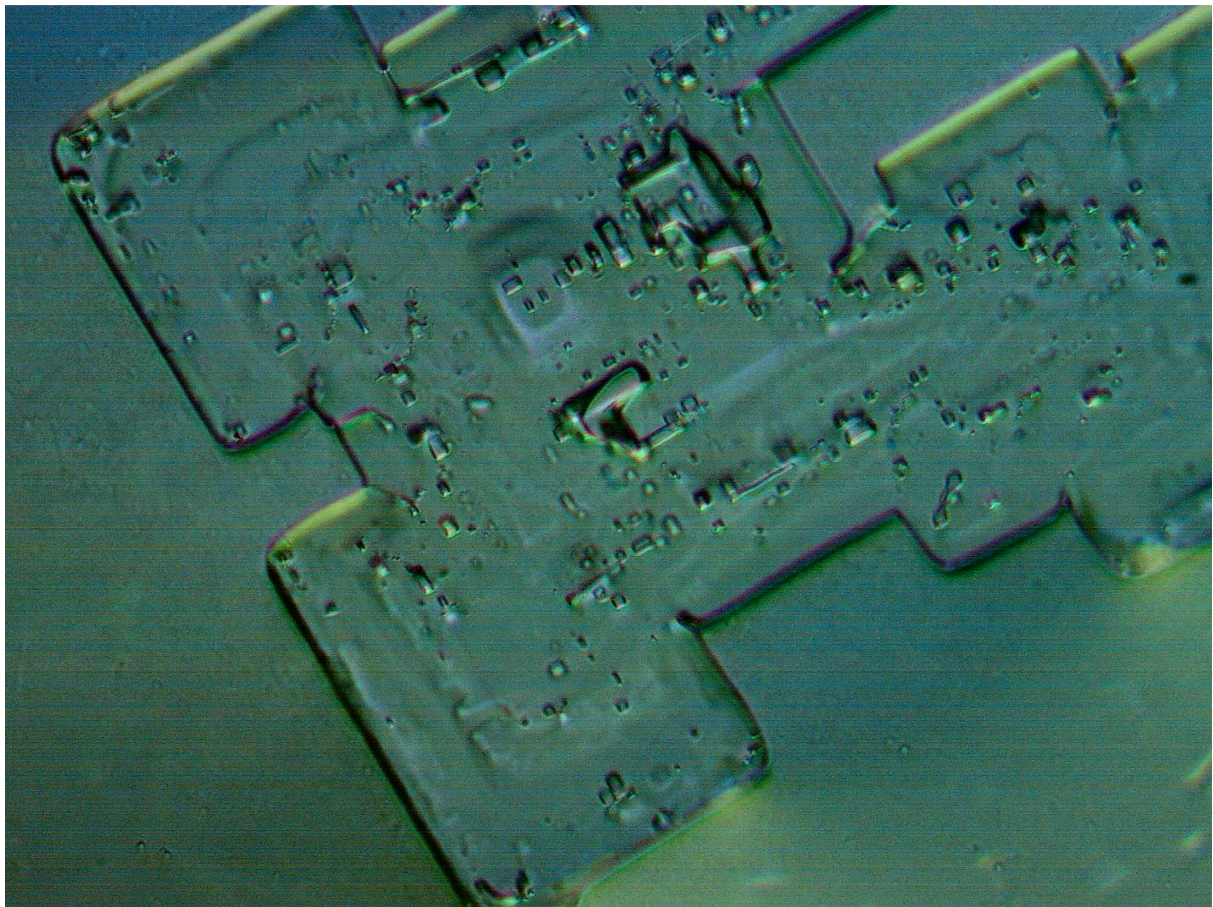
Fotografia 41



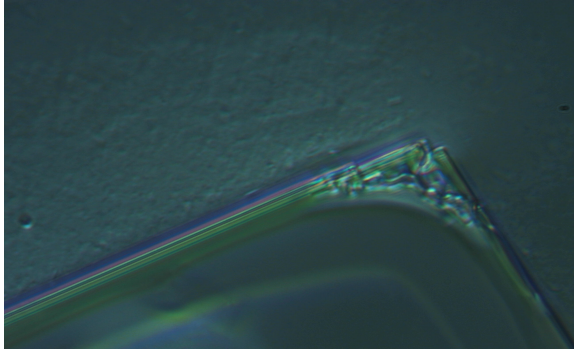
Fotografia 42



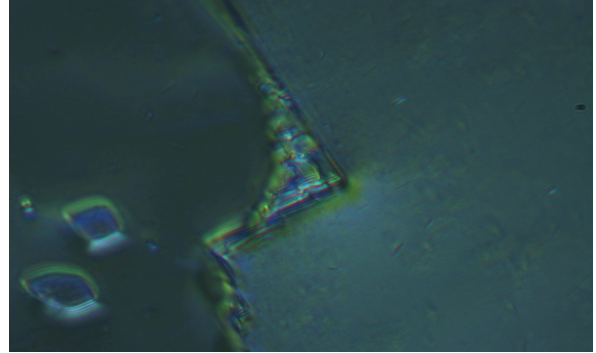
Fotografia 43



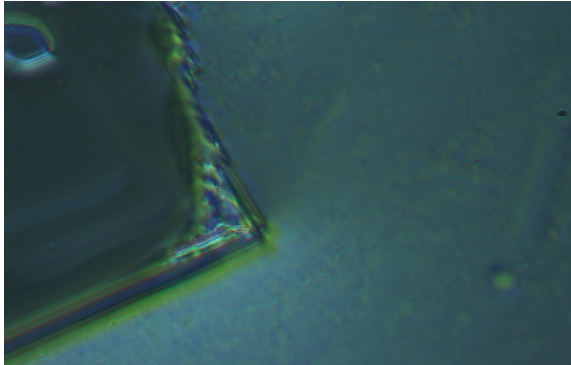
Fotografia 44



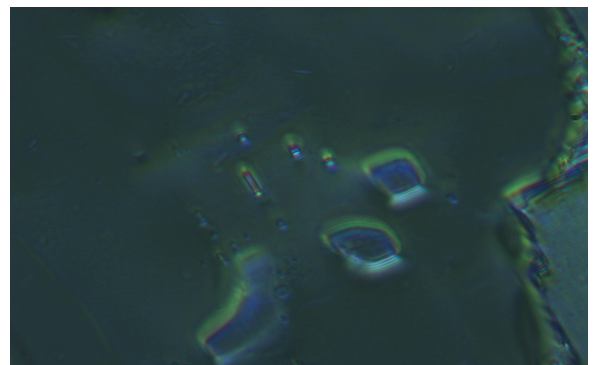
Fotografia 45



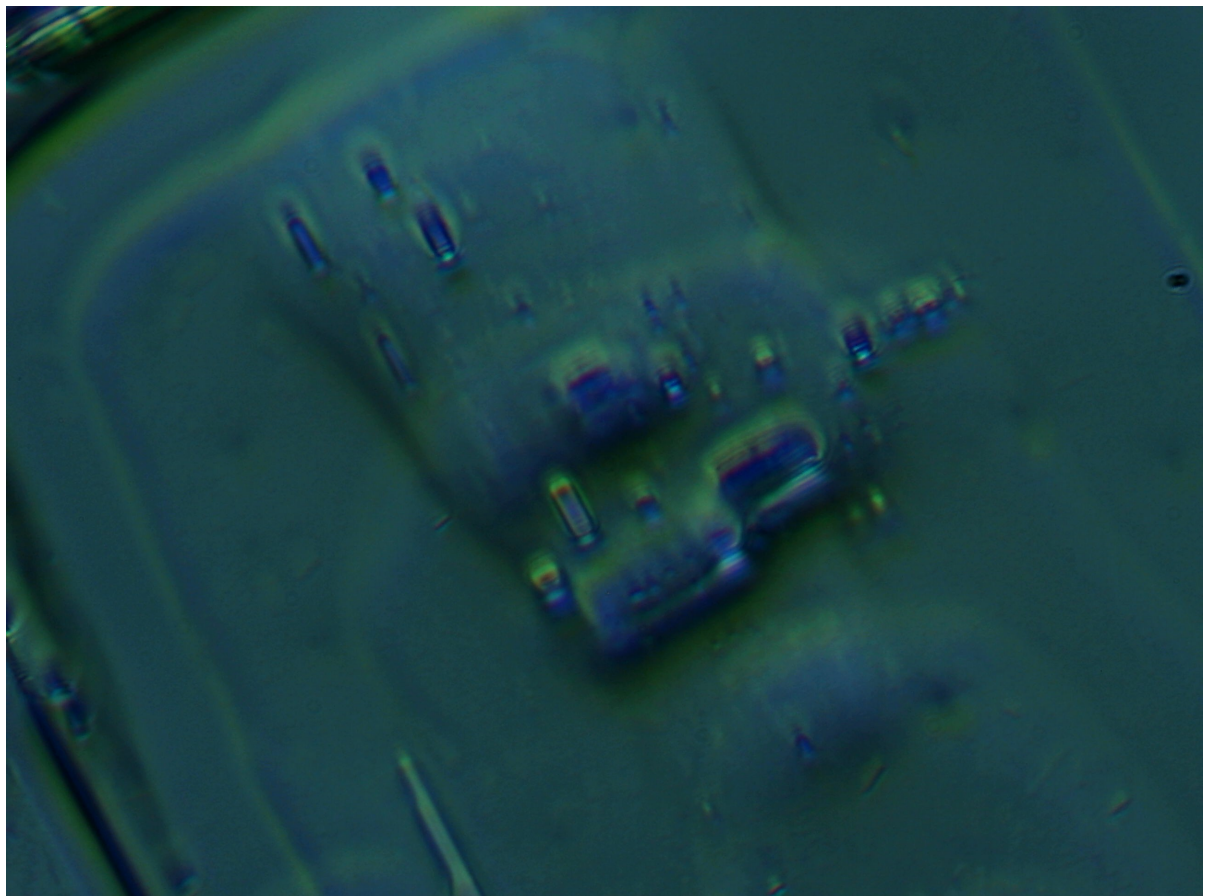
Fotografia 46



Fotografia 47



Fotografia 48



Fotografia 49

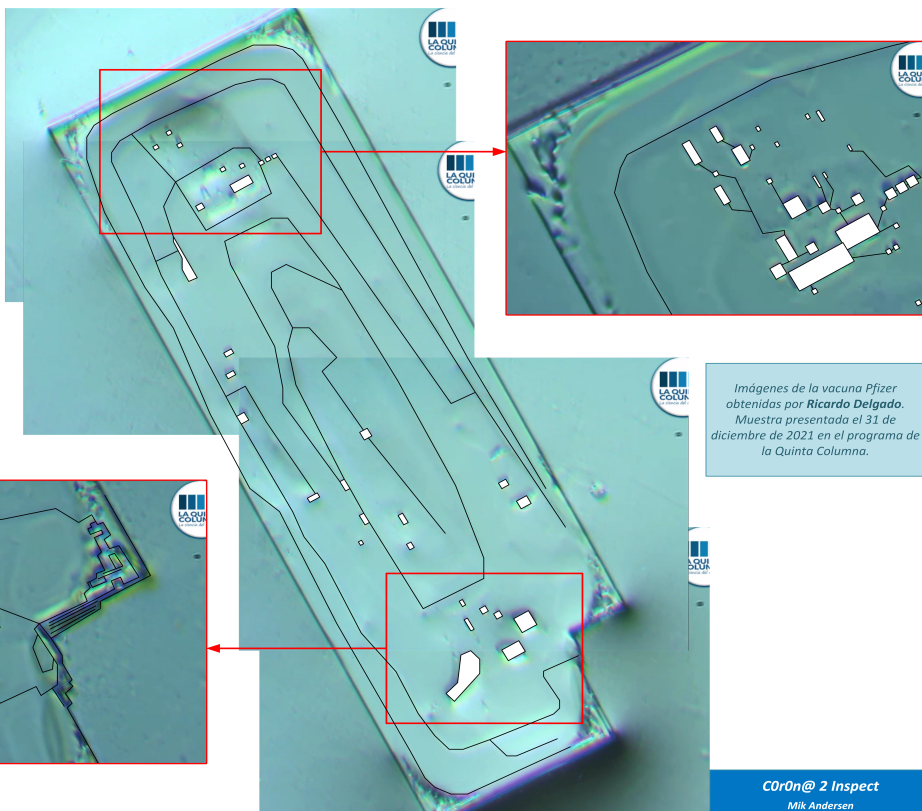
PATRONES ARTIFICIALES OBSERVADOS EN LA MUESTRA DE LA VACUNA PFIZER Y COMPARATIVA DE LAS IMÁGENES OBTENIDAS CON LA LITERATURA CIENTÍFICA

Patrones observados en la muestra de la vacuna

1) Se ha compuesto un mosaico de imágenes para obtener una panorámica del objeto.

2) Se ha procedido al borrador del patrón observado en el objeto.

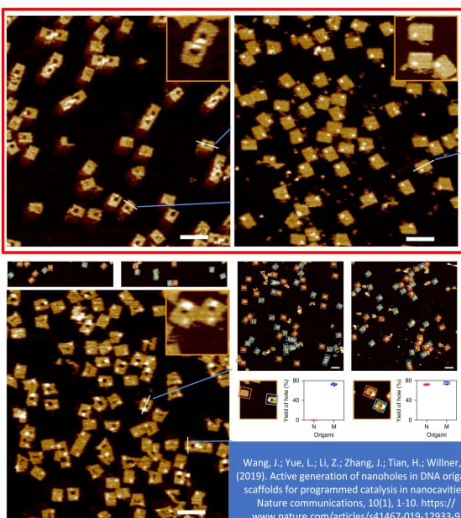
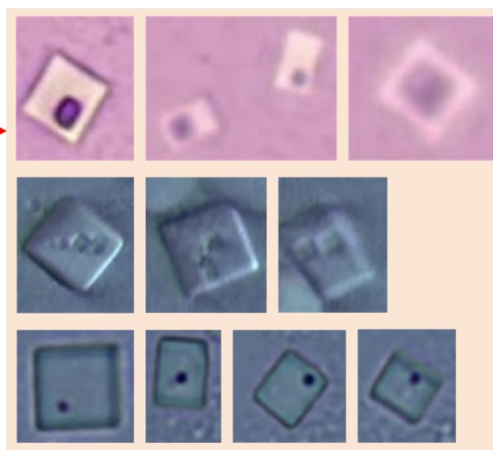
3) Se está consultando la literatura científica para encontrar patrones similares que permitan su identificación.



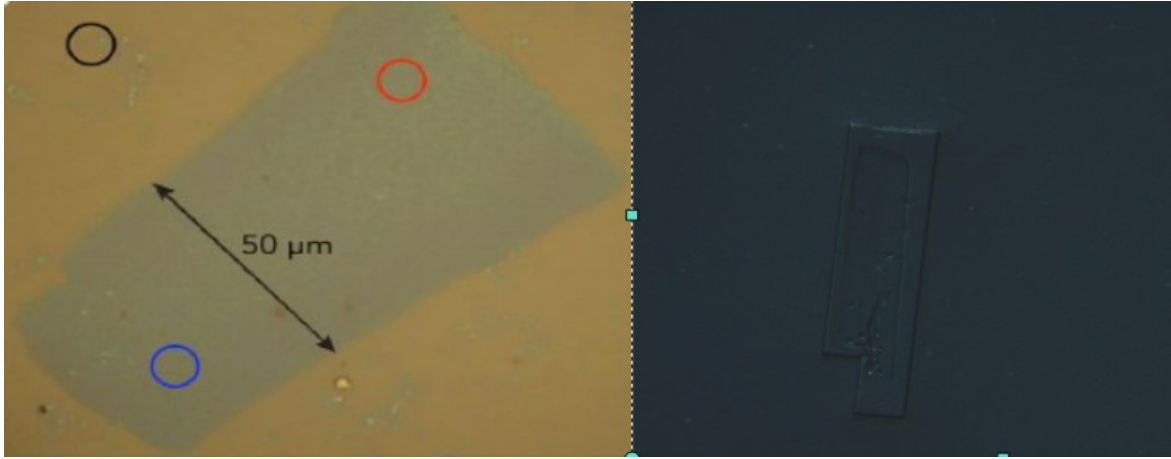
Imágenes de la vacuna Pfizer obtenidas por Ricardo Delgado. Muestra presentada el 31 de diciembre de 2021 en el programa de la Quinta Columna.

CO2n@ 2 Inspect
Mik Andersen

Fuente: [blob:https://web.telegram.org/35614f58-dc02-4b84-9cda-1ad412404faf](https://web.telegram.org/35614f58-dc02-4b84-9cda-1ad412404faf)

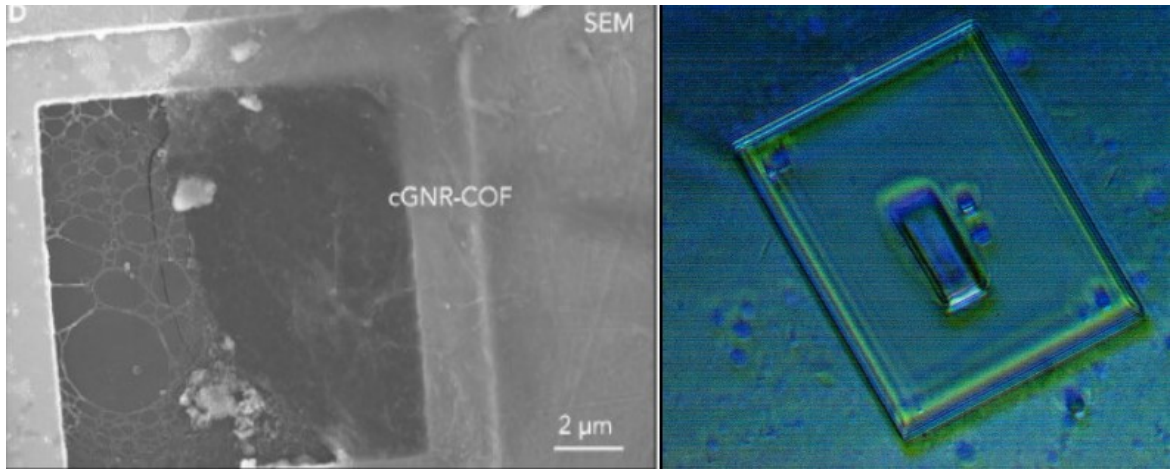
Literatura científica	Muestra de la vacuna
 <p style="font-size: small; margin-top: 5px;">Wang, J.; Yue, L.; Li, Z.; Zhang, J.; Tian, H.; Willner, I. (2019). Active generation of nanoholes in DNA origami scaffolds for programmed catalysis in nanocavities. Nature communications, 10(1), 1-10. https://www.nature.com/articles/s41467-019-12933-9</p>	

(Campra, P. 2.021 y R. Delgado 2.022)



Literatura científica

(R. Delgado 2.022)



Literatura científica

(R. Delgado 2.022)

Literatura científica	Muestras de la vacuna
<p>(Rong, Z.; Leeson, M.S.; Higgins, M.D.; Lu, Y. 2018)</p>	<p>(Campra, P. 2021)</p>

1. CONCLUSIONES FINALES

En base a la presente investigación y al reporte de lo observado en las muestras podemos extraer las siguientes conclusiones:

El grafeno presente en los viales tiene el propósito de amplificar las señales de microondas en el rango actual de GHz procedente de las antenas de telefonía móvil a la escala de THz, lo cual habilitará el correcto funcionamiento de toda la microtecnología recogida en la literatura científica y muy probablemente observable en las muestras analizadas en este informe.

"EEWNSN: Energy Efficient Wireless Nano Sensor Network MAC Protocol for Communications in the Terahertz Band"
<https://dl.acm.org/doi/10.1007/s11277-017-4517-4>. Negar Rikhtegar, Manijeh Keshtgari and Zahra Ronaghi (Noviembre 2.017)

Esto explica el hecho de que la mayor parte de los "vacunados" con esta tecnología además de el grafeno introducido en los viales para alimentarla electrónicamente, **emitan direcciones MAC que son registradas en la tecnología inalámbrica Bluetooth**, como cualquier persona en la actualidad puede comprobar, sin que ninguna autoridad se haya pronunciado sobre el tema o lo haya mencionado algún medio de "comunicación" oficial.

Algunas de las muchas publicaciones científicas respecto a la utilización de **protocolos MAC** para micro-redes usando grafeno pueden consultarse aquí:

"MAC protocols for Wireless Nano-sensor Networks: Performance analysis and design guidelines".
<https://ieeexplore.ieee.org/document/7470805?arnumber=7470805>. Rawan Alsheikh, Nadine Akkari and Etimad Fadel. (2.016)

"Directional MAC approach for wireless body area networks". <https://pubmed.ncbi.nlm.nih.gov/22346602/>. Md Asdaq Hussain, Md Nasre Alam and Kyung Sup Kwak. (2.011)

"A very low power MAC (VLPM) protocol for Wireless Body Area Networks". <https://pubmed.ncbi.nlm.nih.gov/22163818/>
Niamat Ullah, and Kyung Sup Kwak. (2.011)

Es muy destacable que según la propia corporación Pfizer se nos habla de composición de nanopartículas lipídicas y por tanto, desde el punto de vista microscópico no deberíamos observar nada.

Sin embargo, la amplia galería de micro-fotografías registradas en este informe evidencia que existen multitud de partículas de tamaño microscópico y claramente visibles con esta óptica.

La supuesta composición de los viales analizados que responden al nombre comercial "**Comirnaty mRNA COVID19**" que publica la Agencia Europea del Medicamento, la propia corporación farmacéutica y otras agencias de "control" reguladoras **no coincide** con lo apreciado en este informe.

BIBLIOGRAFÍA CONSULTADA

"Radio-frequency characteristics of graphene oxide". <https://aip.scitation.org/doi/10.1063/1.3506468>

Whan Kyun Kim, Young Mo Jung, Ji Yoong Kang, Ju Yeong Oh, Hosung Kang, Hee-Jo Lee, Jae Hun Kim, Seok Lee, H. J. Shin, J. Y. Choi, S. Y. Lee, Y. C. Kim, I. T. Han, J. M. Kim, Jong-Gwan Yook, Seunghyun Baik, and Seong Chan Jun (2.010)

"Analysis of Graphene Antenna Properties for 5G Applications".

https://www.researchgate.net/publication/337093683_Analysis_of_Graphene_Antenna_Properties_for_5G_Applications

Siti Nor Hafizah Sa'don, Mohd haizal Jamaluddin, Muhammad Ramlee Kamarudin, Fauzan Ahmad (Noviembre 2.019)

"Material advancement in technological development for the 5G wireless communications".

<https://www.degruyter.com/document/doi/10.1515/ntrev-2020-0054/html>. Huali Hao, David Hui and Denvid Lau (2.020)

"La visión de la nanotecnología para las radiocomunicaciones en los próximos años. Una perspectiva desde la academia".

https://www.researchgate.net/publication/323196338_La_vision_de_la_nanotecnologia_para_las_radiocomunicaciones_en_los_proximos_anos_Una_perspectiva_desde_la_academia. Andrés García y Leonardo Betancur (Junio 2.017)

"CRISPR-Cas9 Activated Graphene Biointerfaces for Capture and Real-Time Monitoring of Cell-Free DNA on a Microneedle Patch". [https://www.researchgate.net/publication/351605243_CRISPR-](https://www.researchgate.net/publication/351605243_CRISPR-Cas9_Activated_Graphene_Biointerfaces_for_Capture_and_Real-Time_Monitoring_of_Cell-Free_DNA_on_a_Microneedle_Patch)

[Cas9_Activated_Graphene_Biointerfaces_for_Capture_and_Real-Time_Monitoring_of_Cell-Free_DNA_on_a_Microneedle_Patch](https://www.researchgate.net/publication/351605243_CRISPR-Cas9_Activated_Graphene_Biointerfaces_for_Capture_and_Real-Time_Monitoring_of_Cell-Free_DNA_on_a_Microneedle_Patch). Jilie kong (Abril 2.021)

"Design of Wireless Nanosensor Networks for Intrabody Application".

https://www.researchgate.net/publication/282476793_Design_of_Wireless_Nanosensor_Networks_for_Intrabody_Application. Suk Jin Lee y Changyong (Andrew) Jung (Julio 2.015)

"DNA-assembled advanced plasmonic architectures". <https://www.ncbi.nlm.nih.gov/labs/pmc/articles/PMC6546600/>

Na Liu y Tim Liedl (Enero 2.018)

"Electromagnetic wireless nanosensor networks". <https://www.sciencedirect.com/science/article/abs/pii/S1878778910000050>

Ian F. Akyildiz and Josep Miquel Jornet (Marzo 2.010)

"Recent Progress in Radio-Frequency Sensing Platforms with Graphene/Graphene Oxide for Wireless Health Care System". [https://www.researchgate.net/publication/349912462_Recent_Progress_in_Radio-](https://www.researchgate.net/publication/349912462_Recent_Progress_in_Radio-Frequency_Sensing_Platforms_with_GrapheneGraphene_Oxide_for_Wireless_Health_Care_System)

[Frequency_Sensing_Platforms_with_GrapheneGraphene_Oxide_for_Wireless_Health_Care_System](https://www.researchgate.net/publication/349912462_Recent_Progress_in_Radio-Frequency_Sensing_Platforms_with_GrapheneGraphene_Oxide_for_Wireless_Health_Care_System). Hee-Jo Lee (Marzo 2.021)

"Synthesis and Toxicity of Graphene Oxide Nanoparticles: A Literature Review of In Vitro and In Vivo Studies".

<https://www.hindawi.com/journals/bmri/2021/5518999/>. Asmaa Rhazouani, Halima Gamrani, Mounir El Achaby, Khalid Aziz, Lhoucine Gebrati, Md Sahab Uddin and Faissal AZIZ (2.021)